

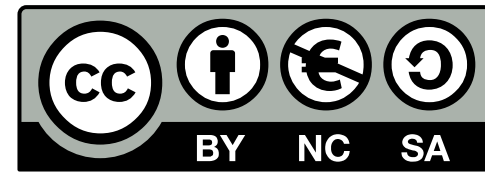
# Digitale Signalverarbeitung auf FPGAs

Kap. 2 – Zeitdiskrete Signale und Systeme  
im Frequenzbereich

2016

Dr. Christian Münker

Diese Folien sind unter Creative-Commons-Lizenz  
**CC-BY-NC-SA 3.0 de** veröffentlicht.



Bei Verwendung dieses Werks müssen Sie auf die entsprechende **CC-Lizenzurkunde** verweisen, in diesem Fall <http://creativecommons.org/licenses/by-nc-sa/3.0/de/> .

Sie müssen ferner die folgenden Angaben machen ("BY", attribution)

- **Author** („Christian Münker“)
- **Titel** („Digitale Signalverarbeitung auf FPGAs“)
- **URL** ([https://github.com/chipmuenk/dsp\\_fpga](https://github.com/chipmuenk/dsp_fpga)) zu Werk und / oder Author

Außerdem ist die Verwendung auf folgende Weise eingeschränkt:

- Diese Materialien dürfen **nicht kommerziell** genutzt werden („NC“, non-commercial).
- Dieses Werk oder Teile daraus dürfen nur **unter gleichen Lizenzbedingungen** weiterverteilt werden („SA“, share alike).

Fragen, Anmerkungen, Bugs bitte an [mail@chipmuenk.de](mailto:mail@chipmuenk.de) - viel Erfolg und Spaß!

- $H(z)$ ,  $|H(z)|$ ,  $H(e^{j\Omega})$  und  $H(\Omega)$  ...
- Schreibformen von  $H(z)$
- Pol / Nullstellendiagramm
- Kausalität
- Matlab / Python – Darstellung von  $H(z)$
- Einfache Filter

# Digitale Signalverarbeitung auf FPGAs

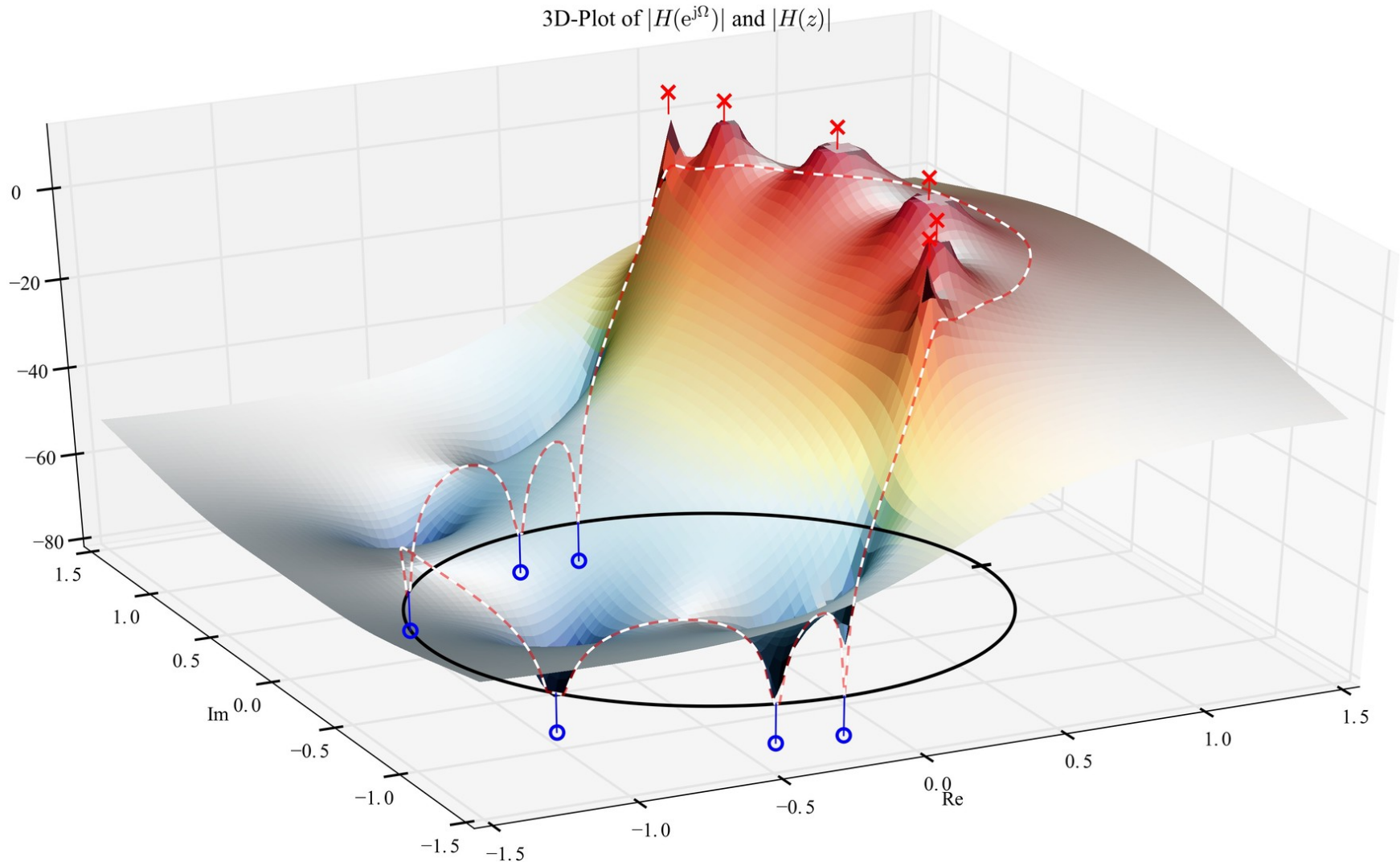
## Kap. 2 Zeitdiskrete Signale und LTI-Systeme im Frequenzbereich

Teil 1  $H(z)$ ,  $|H(z)|$ ,  $H(e^{j\Omega})$  und  $H(\Omega)$  ...

2016

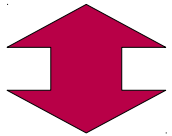
Dr. Christian Münker

# $H(z)$ , $|H(z)|$ , $H(e^{j\Omega})$ und $H(\Omega)$ ...

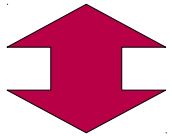


Zeitdiskrete Signale und LTI-Systeme lassen sich auf verschiedene Arten darstellen (vgl. zeitkontinuierliche Signale und LTI-Systeme):

**Zeitbereich:** Folge + Impulsantwort  $h[k]$  → **Kapitel 1**



**Komplexe z-Ebene:** Systemfunktion  $H(z)$ ,  $|H(z)|$  → **Kapitel 1 + 2**



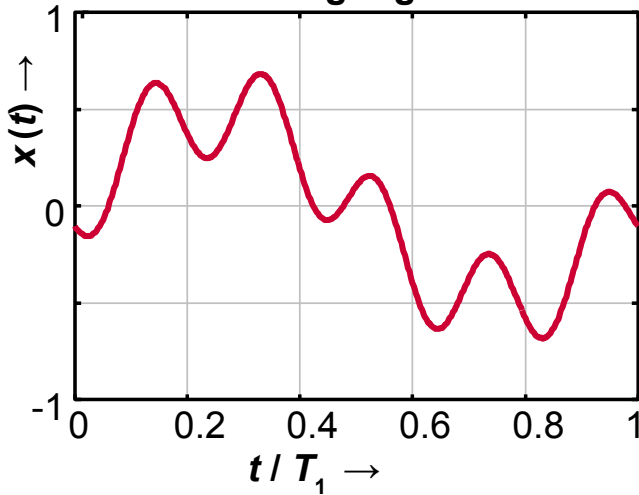
**Frequenzbereich:** Komplexer Frequenzgang  $\underline{H}(e^{j\Omega})$  → **Kapitel 2**

Warum  $\underline{H}(e^{j\Omega})$  und nicht  $\underline{H}(\Omega)$ ?

# Spektrum abgetasteter Signale

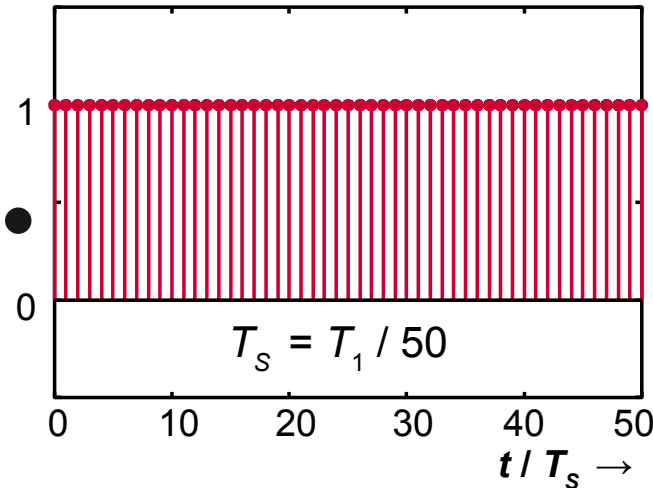


Analog Signal

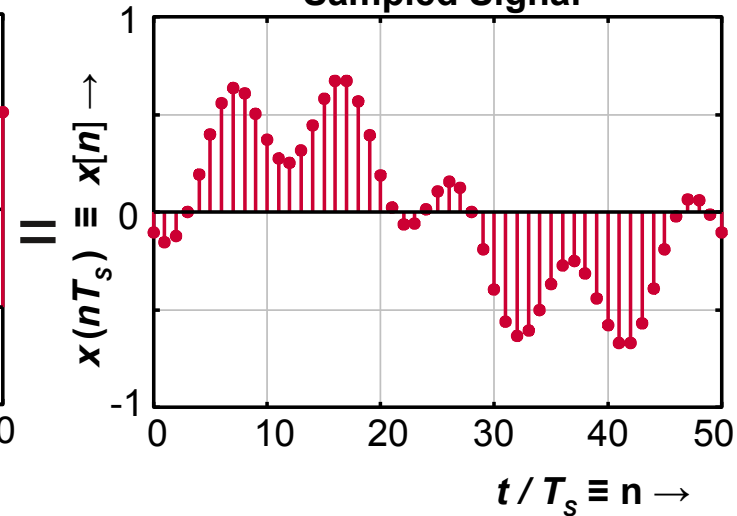


$$\sin\left(\frac{2\pi t}{T_1}\right)/2 + \cos\left(\frac{10\pi t}{T_1} + \varphi_0\right)/4$$

Ideal Sampler

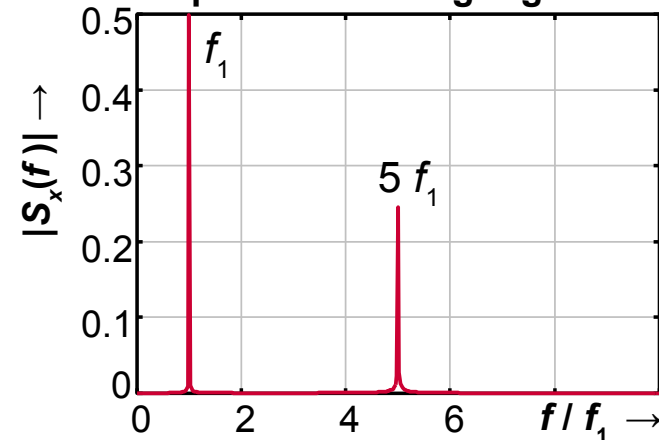


Sampled Signal

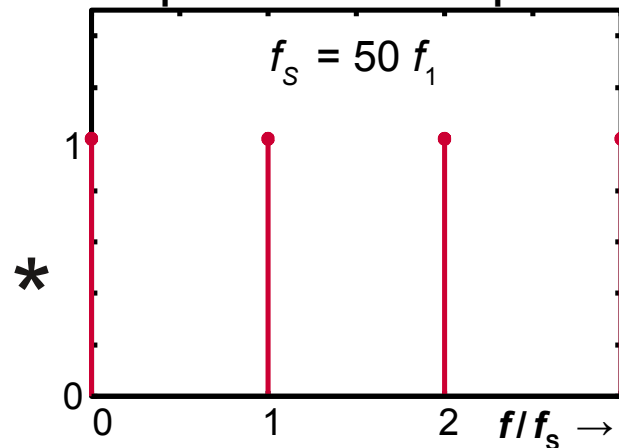


Periodisches Spektrum !

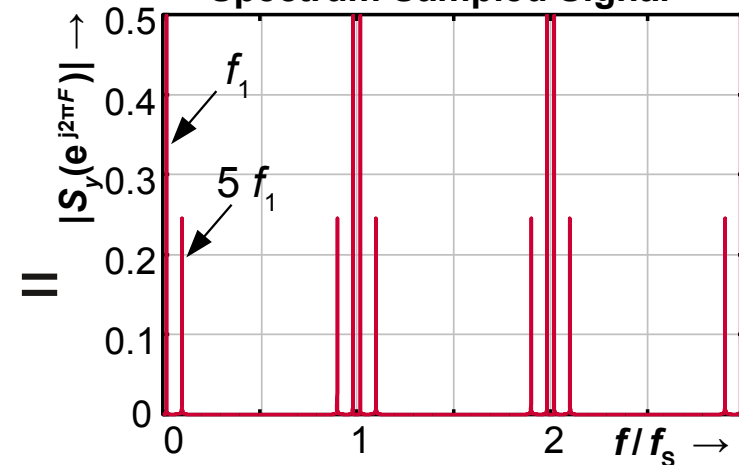
Spectrum Analog Signal



Spectrum Ideal Sampler



Spectrum Sampled Signal



**Beispiel:**  $f = 1$  kHz (Perioden / s),  $f_s = 20$  kHz (Samples / s)

**Winkelfrequenz**  $\omega = 2\pi f = 6,28$  k rad / s

**Normierte Frequenz**  $F = f / f_s = 0,05$  Perioden / Sample

**Norm. Winkelfrequenz**  $\Omega = 2\pi f / f_s = 0,314$  rad / Sample  
 $= 0,1 \pi$  rad / Sample

## Achtung!

- Matlab bezieht normierte Frequenzen auf die Nyquistfrequenz  $f_s/2$ !
- $\Omega$  und  $\omega$  werden in der Literatur nicht einheitlich verwendet!



# Frequenzgang in der z-Ebene



Beliebiger Punkt ★ in z-Ebene:

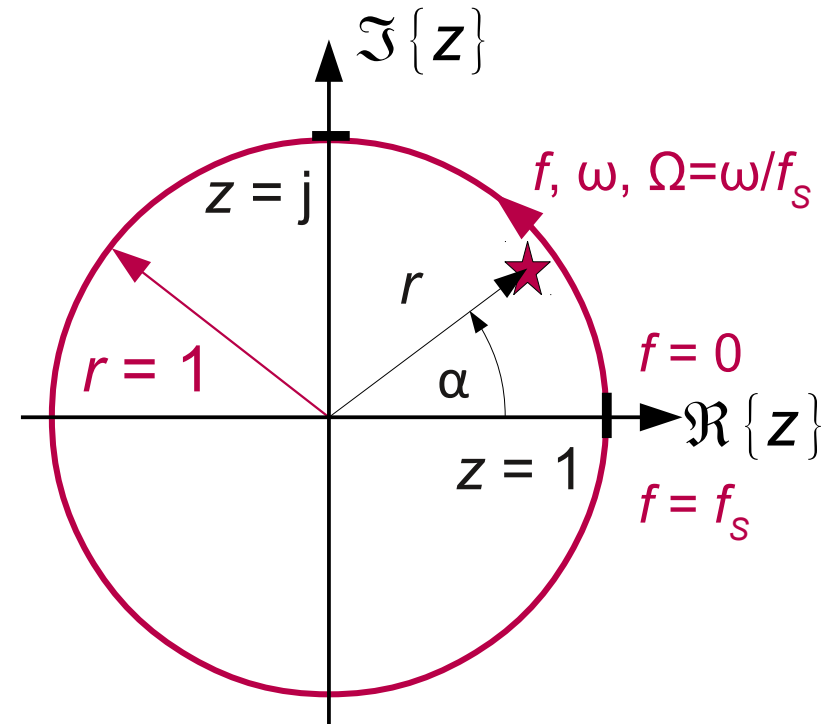
$$\begin{aligned} z &= e^{sT_s} = e^{(\sigma + j\omega)T_s} = e^{\sigma T_s} e^{j\omega T_s} = r e^{j\alpha} \\ &= x + jy = r(\cos \alpha + j \sin \alpha) \end{aligned}$$

Für  $\sigma = 0$ ,  $r = 1$  Frequenzachse entlang des Einheitskreises (EK):

$$\Rightarrow z = e^{j\omega T_s} = e^{j2\pi f/f_s}$$

$$\Rightarrow H(f) = H(z = e^{j2\pi f/f_s} = e^{j\omega/f_s})$$

$$z = e^{j2\pi f/f_s} = e^{j2\pi(f + kf_s)/f_s} \Rightarrow H(f) = H(f + kf_s); \quad k = \dots, -1, 0, 1, \dots$$



Zeitdiskrete Spektren bzw. Frequenzgänge werden entlang des Einheitskreises abgelesen und sind periodisch mit  $f_s$  !

Schreibweise:  $H(z = e^{j2\pi f T_s}) = H(e^{j2\pi F}) = H(e^{j\Omega})$

# Normierte Frequenzen auf dem EK



$$r = 1 \Rightarrow z = e^{j\omega T_s} = e^{j\Omega} = e^{j2\pi f/f_s} = e^{j2\pi F}$$

## Normierte Frequenz:

$$F = f / f_s = 0 \dots 1 \text{ (oder } \pm 0,5)$$

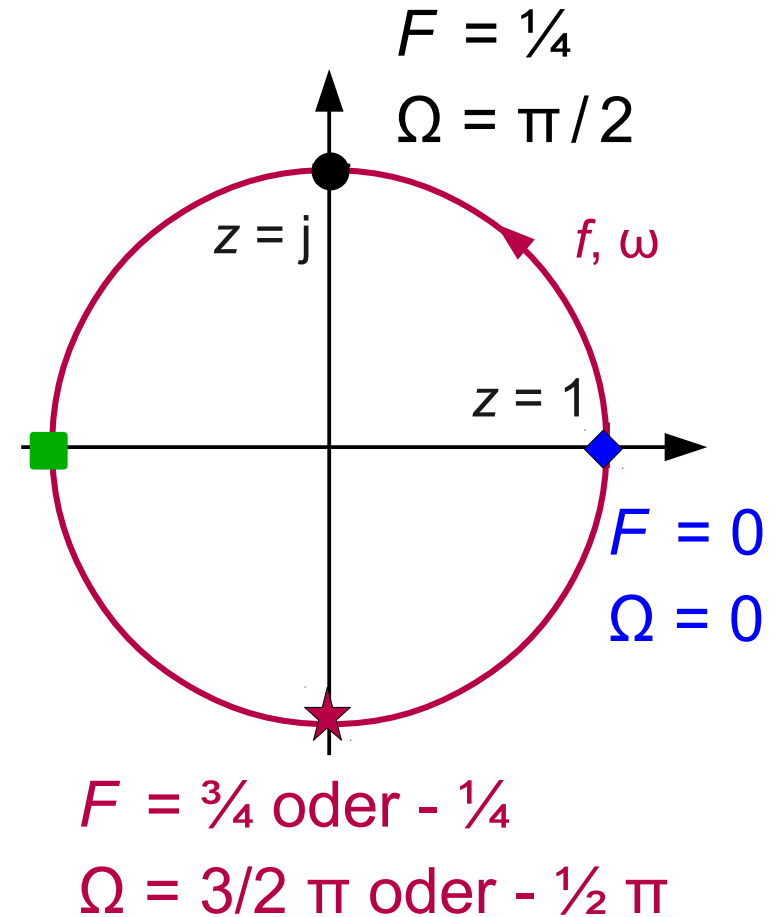
## Normierte Kreisfrequenz:

$$\Omega = \omega / f_s = 0 \dots 2\pi \text{ (oder } \pm \pi)$$

## Wichtige Punkte auf dem EK:

- ◆  $z = 1 \rightarrow f = 0 \text{ oder } f_s$
- $z = j \rightarrow f = f_s / 4$
- $z = -1 \rightarrow f = f_s / 2$
- ★  $z = -j \rightarrow f = 3/4 f_s \text{ oder } -f_s / 4$

$$F = 1/2$$
$$\Omega = \pi$$

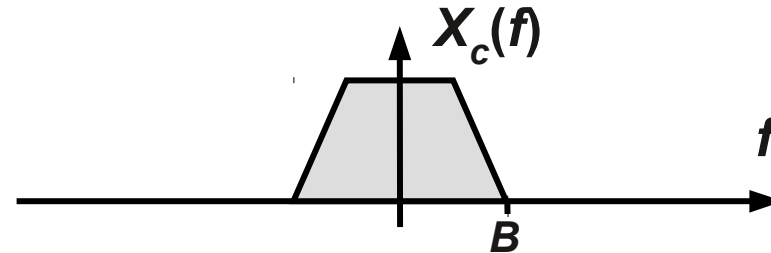


**Achtung:** manchmal auch Normierung auf  $f_s / 2$  (Matlab) !

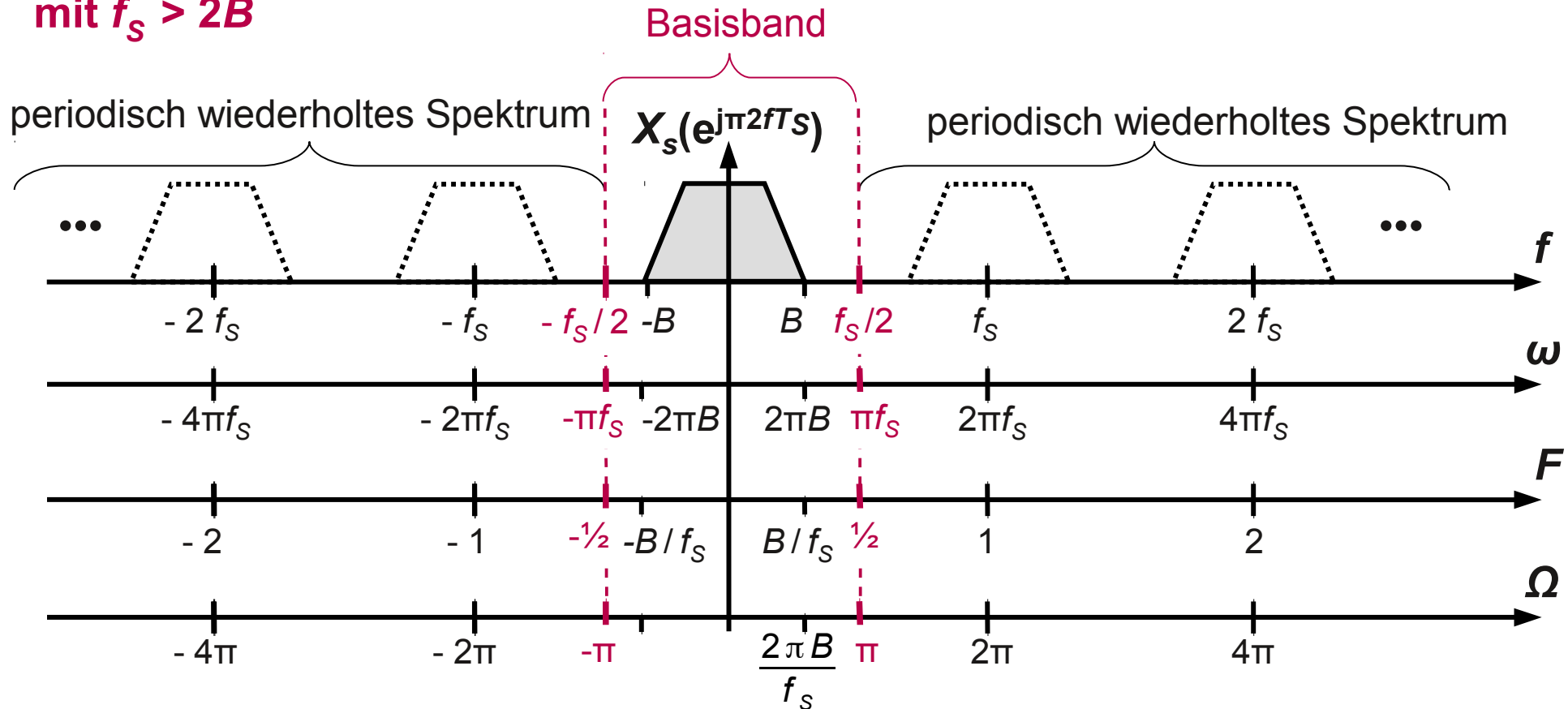
# Frequenzdarstellung periodischer Spektren



**Zeitkontinuierliches Eingangssignal mit Bandbreite  $B$**



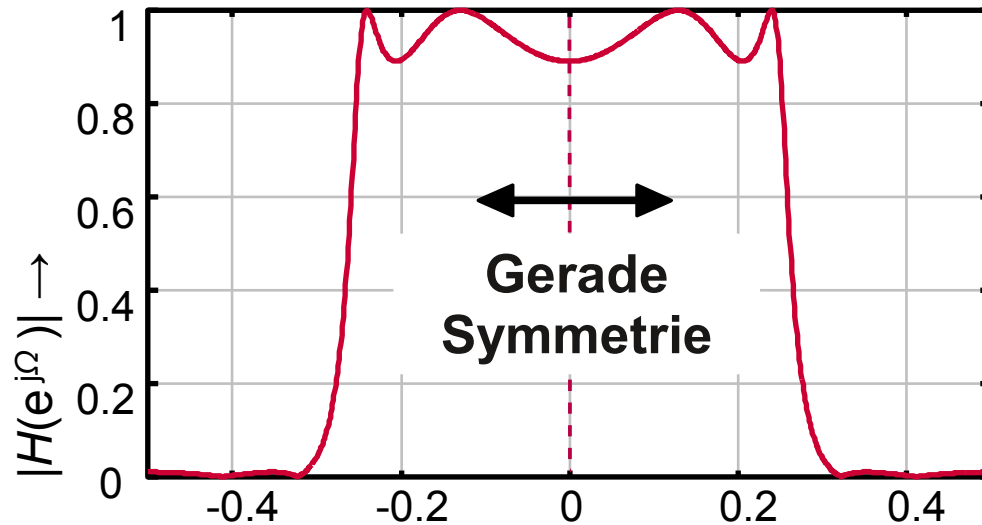
**Abgetastetes Signal mit  $f_s > 2B$**



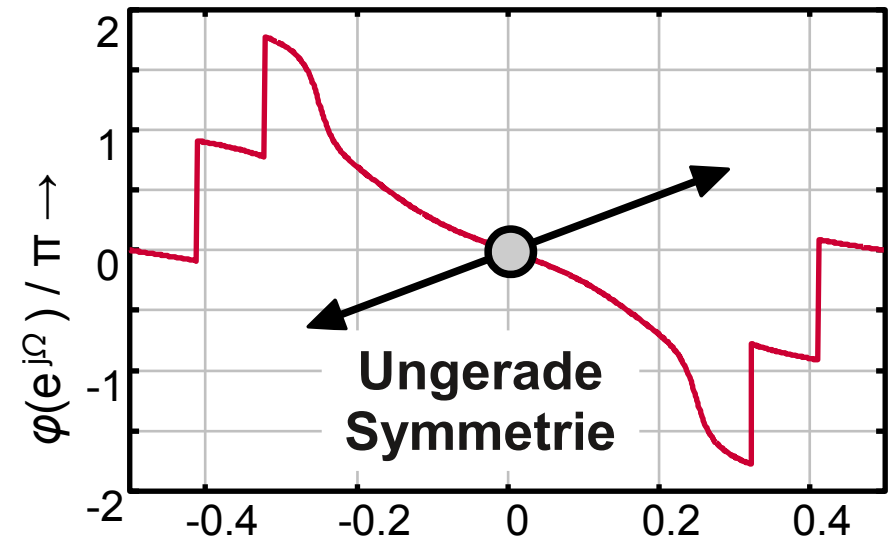
# Spektren reellwertiger Signale und Systeme (1)



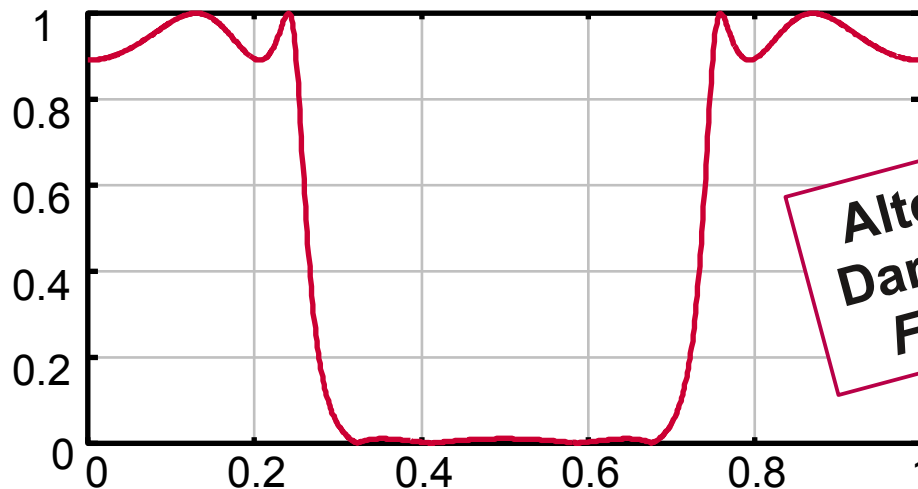
Betragsgang



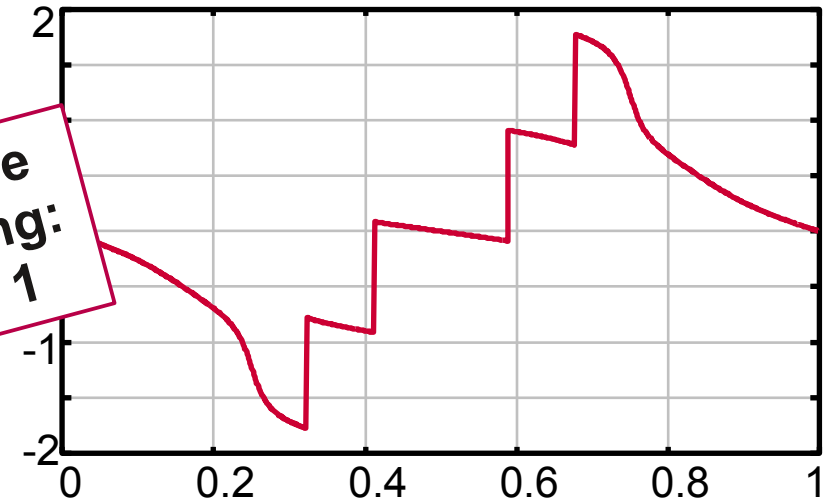
Phasengang



Normierte Frequenz  $\Omega / 2\pi \rightarrow$



Alternative  
Darstellung:  
 $F = 0 \dots 1$

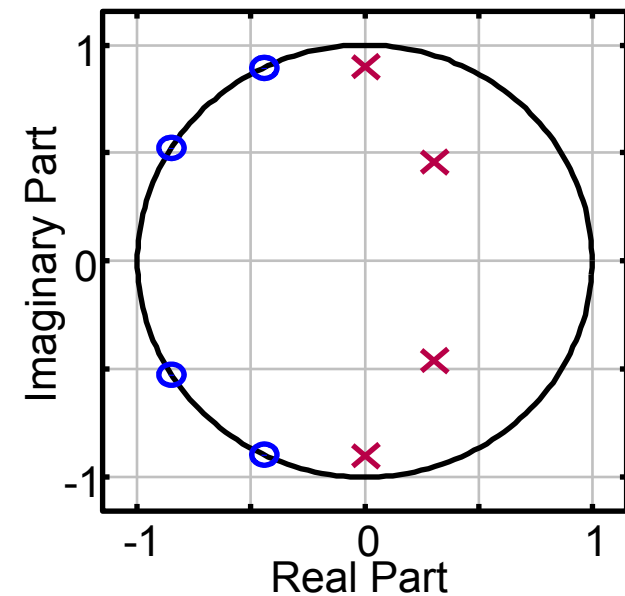
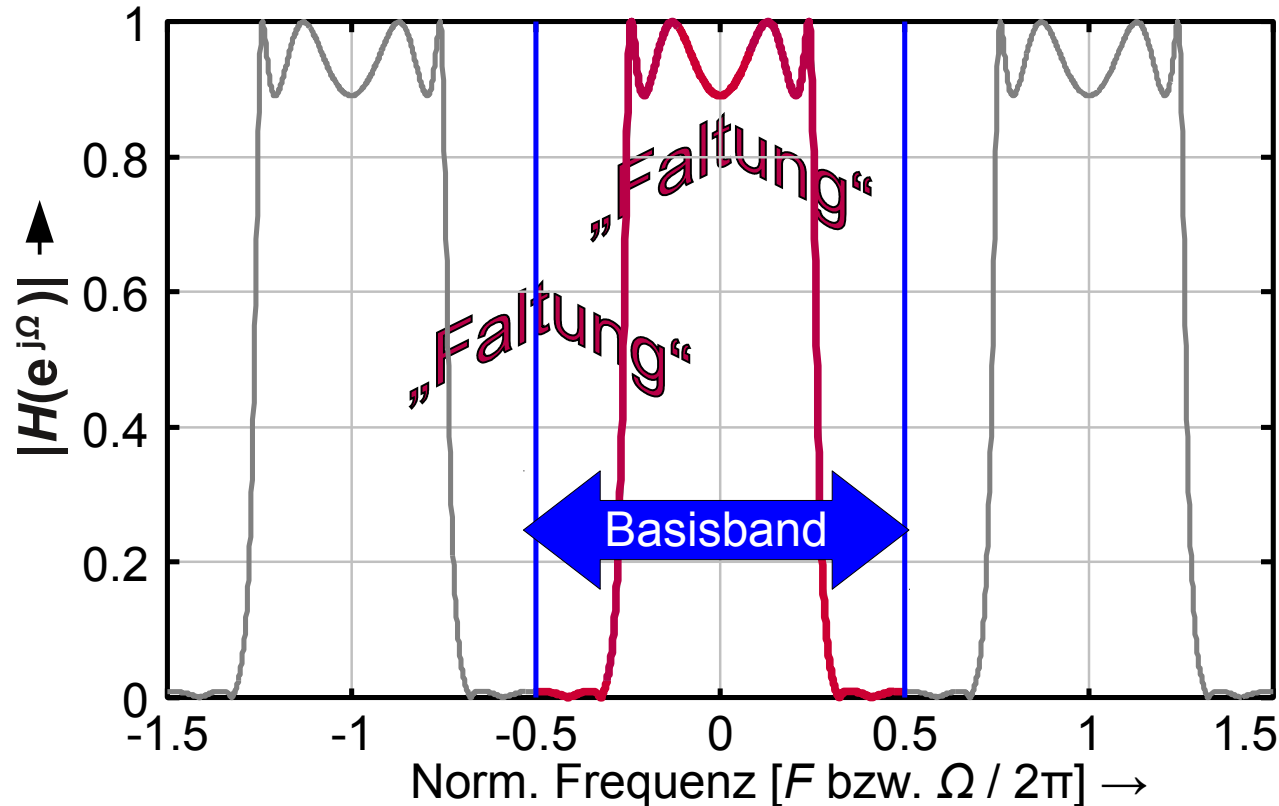


Kap2\_PN\_Plan\_3D.m

# Spektren reellwertiger Signale und Systeme (2)



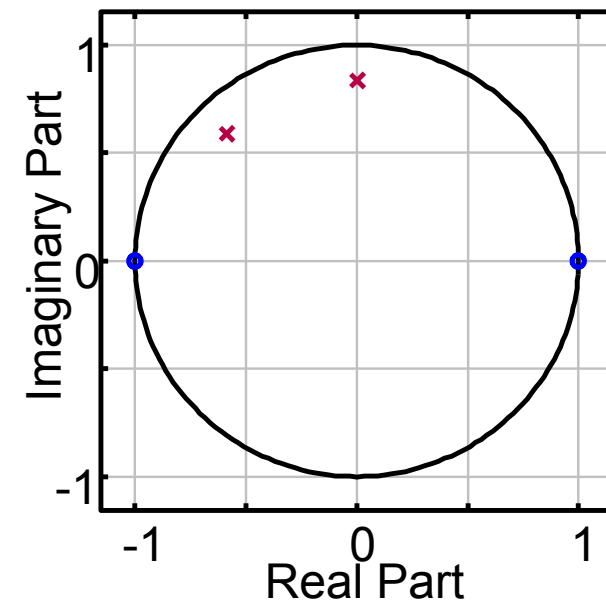
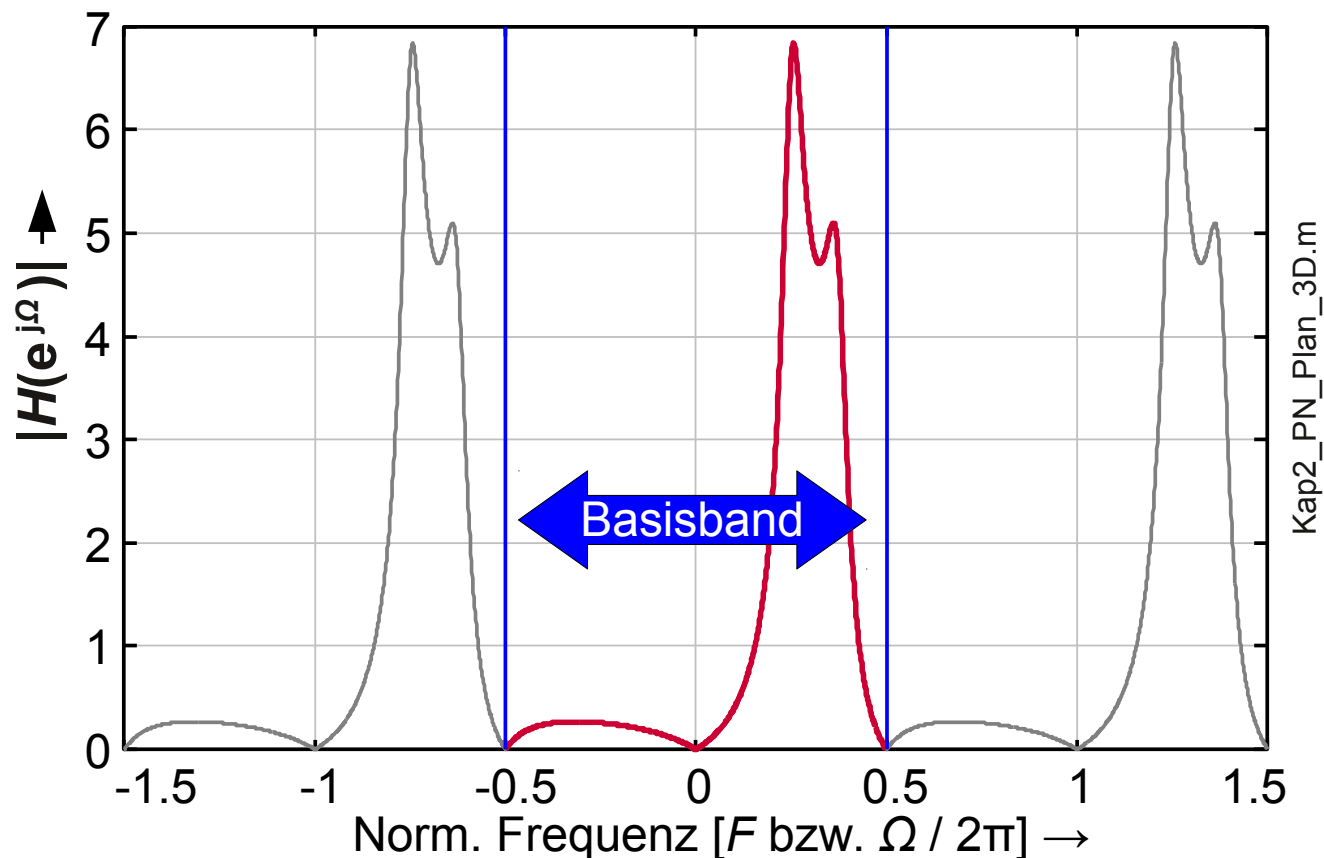
- Wiederholungspektren bei  $kf_s$  – immer bei zeitdiskreten Systemen
- Symmetrien um  $kf_s/2$  - „Faltung“ - nur bei reellwertigen Systemen!
- Reellwertig  $\leftrightarrow$  P / N symm. zur x-Achse (konjugiert komplex)



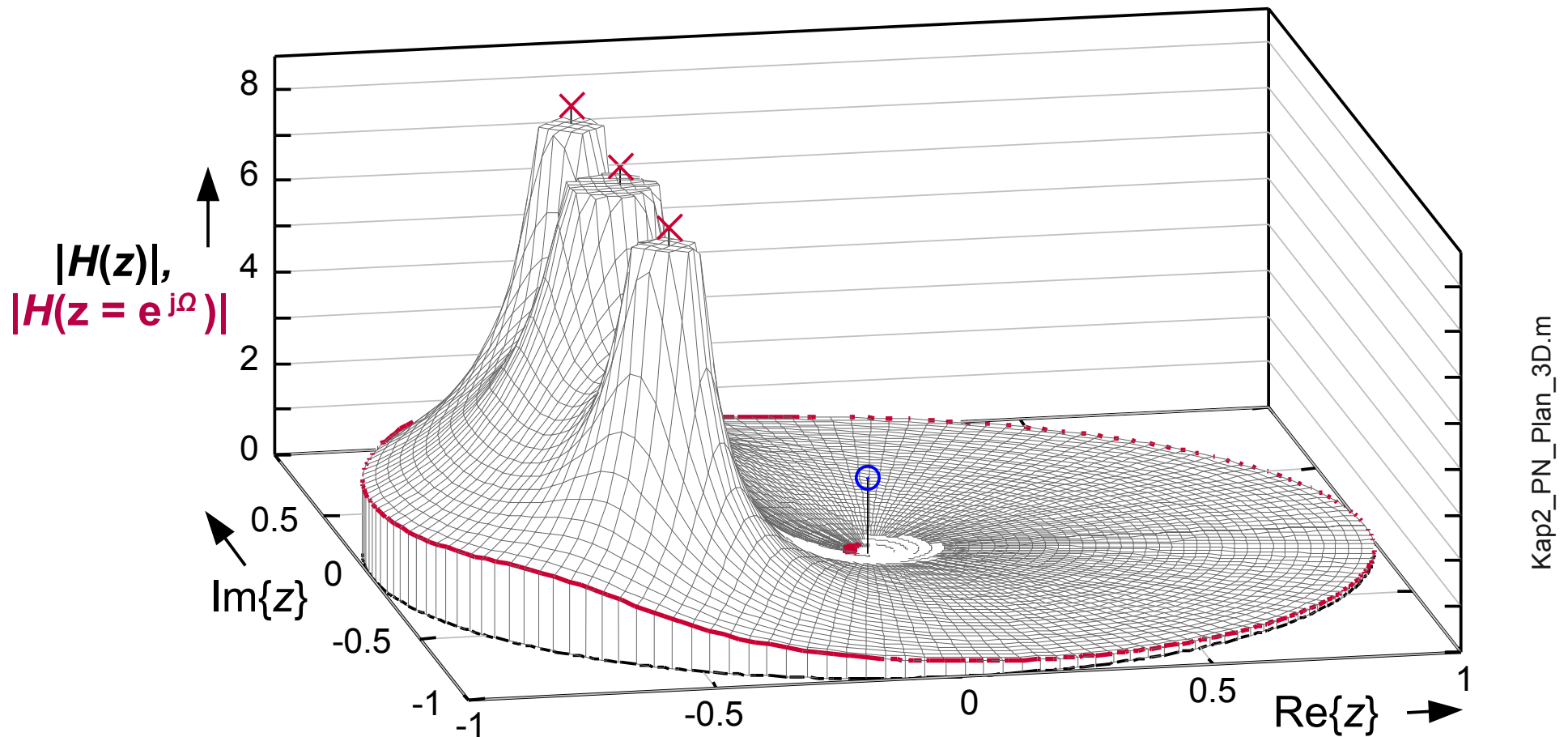
# Spektren komplexwertiger Systeme



- Keine Symmetrien, nur Wiederholung bei  $kf_s$  - keine „Faltung“!
- In dieser Vorlesung fast ausschließlich reellwertige Systeme

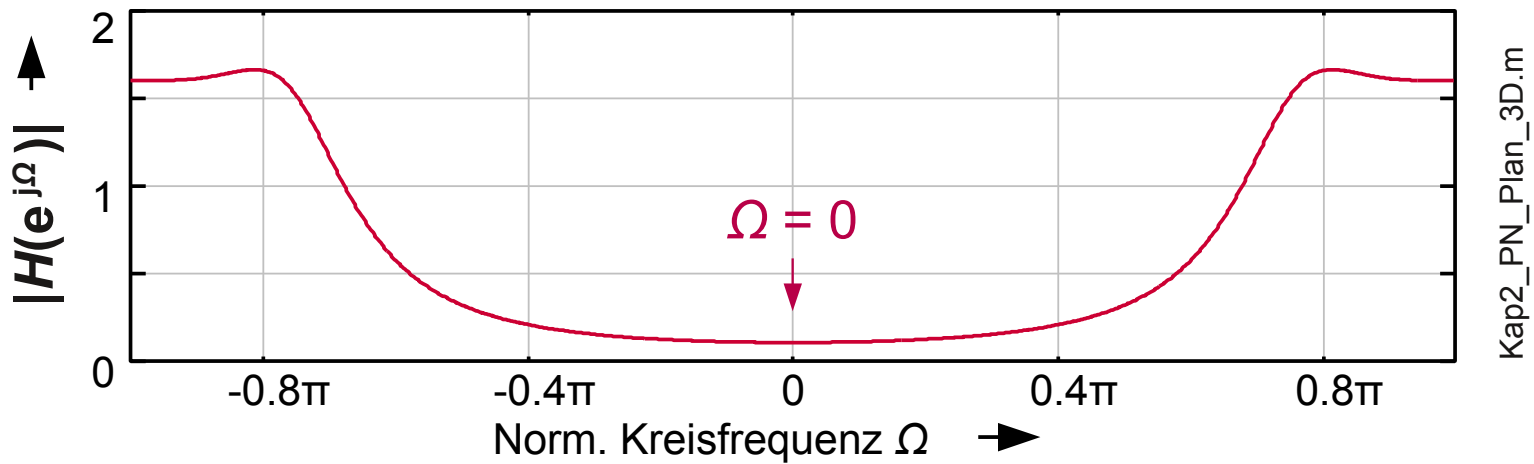
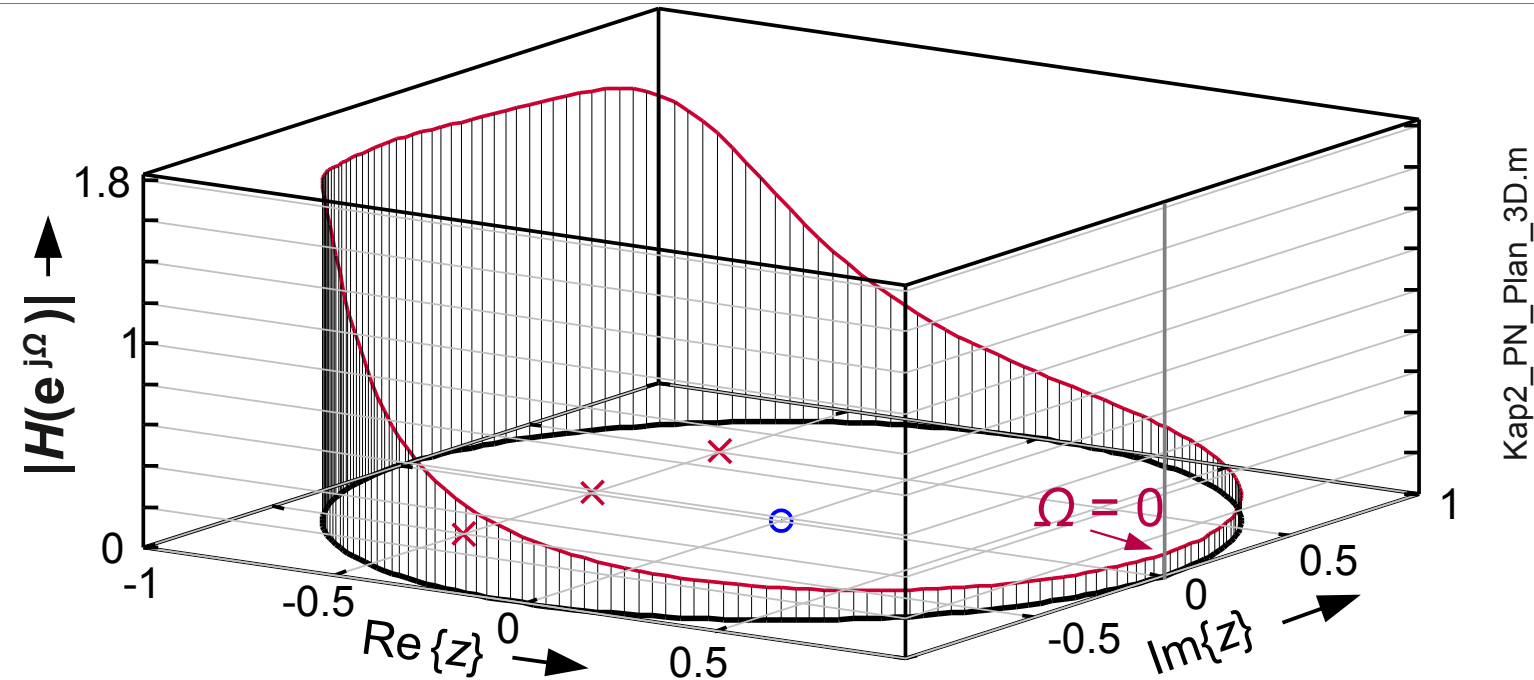


# 3D-Frequenzgang in der z-Ebene (1)



Frequenzgang  $|H(e^{j\Omega})|$  wird entlang des Einheitskreises abgelesen

# 3D-Frequenzgang in der z-Ebene (2)





# Digitale Signalverarbeitung auf FPGAs

Kap. 2 Zeitdiskrete Signale und  
LTI-Systeme im Frequenzbereich

Teil 2 *Schreibformen für die Systemfunktion  $H(z)$*

2016

Dr. Christian Münker

$H(z)$  kann durch mathematische Umformungen u.a. in die folgenden Formen gebracht werden:

**Polynomform mit negativen Exponenten**  $\leftrightarrow$  DZGL, SFG in  
Direktform

**Polynomform mit positiven Exponenten** durch Erweitern mit  $z^N$   
 $\leftrightarrow$  Produktform, Matlab / Python-Repräsentation

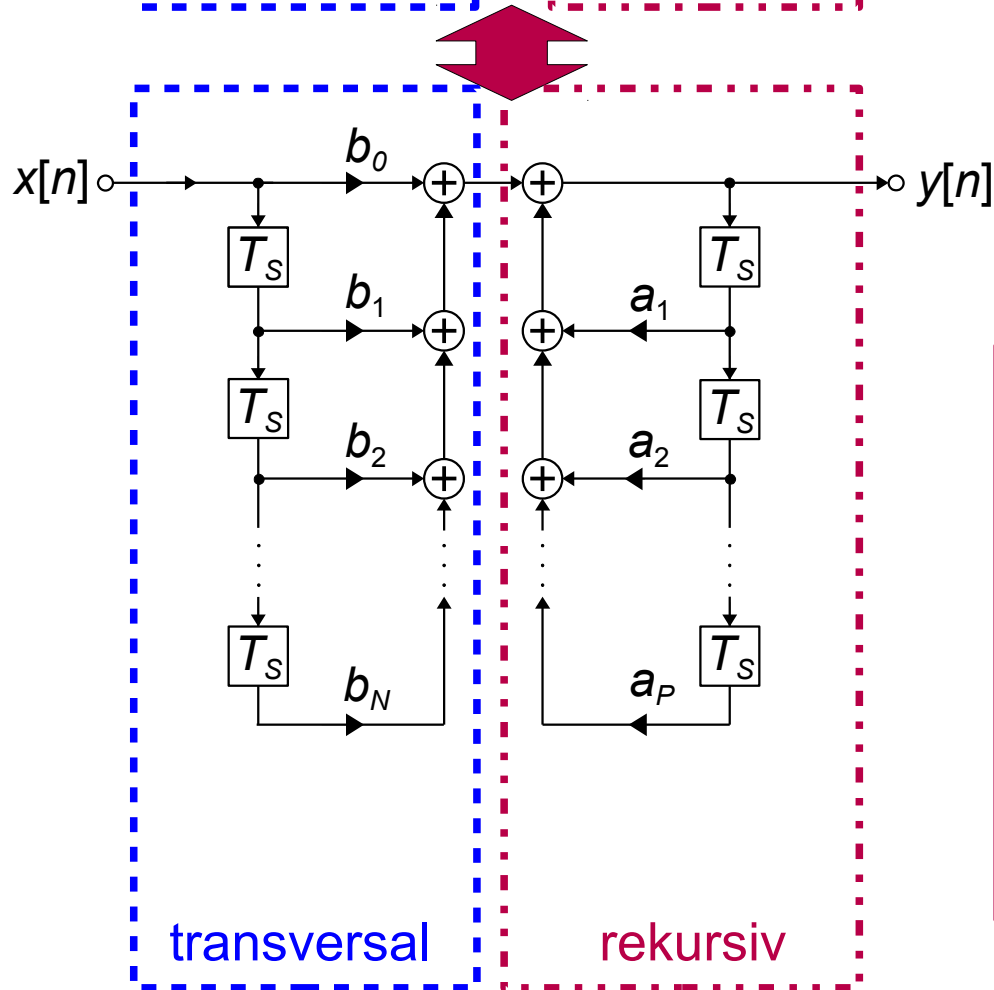
**Produktform** durch Faktorisierung  $\rightarrow$  Bestimmung von Pol/Nullstellen

**Summenform** durch Polynomdivision  $\rightarrow$  Summe aus Termen erster  
und zweiter Ordnung (hier nicht behandelt)

# Polynomform (neg. Exponenten) von $H(z)$

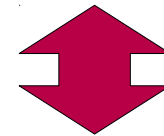


$$y[n] = \sum_{k=0}^N b_k x[n-k] + \sum_{i=1}^P a_i y[n-i] \quad \Leftrightarrow \quad Y(z) = \sum_{k=0}^N b_k X(z) z^{-k} + \sum_{i=1}^P a_i Y(z) z^{-i}$$

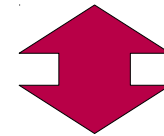


$$\Rightarrow H(z) = \frac{Y(z)}{X(z)} = \frac{\sum_{k=0}^N b_k z^{-k}}{1 - \sum_{i=1}^P a_i z^{-i}}$$

Differenzengleichung



Übertragungsfunktion  $H(z)$



Direkte Hardware-Konstruktion

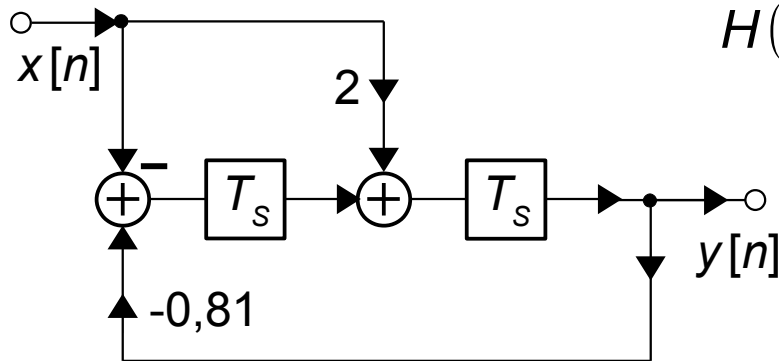
# Polynomform (pos. Exponenten) von $H(z)$



Erweitern von Nenner und Zähler  
mit  $z^P z^N$  führt zu Polynomform  
mit *positiven Exponenten*:

$$\Rightarrow H(z) = \frac{\sum_{k=0}^N b_k z^{-k}}{1 - \sum_{i=1}^P a_i z^{-i}} = \frac{\sum_{k=0}^N b_k z^{N-k}}{z^P - \sum_{i=1}^P a_i z^{P-i}} \frac{z^P}{z^N}$$

Diese Form kann leichter in die Produktform zerlegt werden und  
definiert die Koeffizienten für die Matlab / Python-Repräsentation:



$$H(z) = \frac{2z^{-1} - z^{-2}}{1 + 0,81z^{-2}} = \frac{2z - 1}{z^2 + 0,81} = \frac{2(z - 0,5)}{(z - 0,9j)(z + 0,9j)}$$



ML / Python:  $\mathbf{b} = [2, -1]$

$\mathbf{a} = [1, 0, 0.81]$

$$H(z) = \frac{\sum_{k=0}^N b_k z^{N-k}}{z^P - \sum_{i=1}^P a_i z^{P-i}} \frac{z^P}{z^N} = b_0 \frac{\prod_{k=1}^N (z - z_{0,k})}{\prod_{i=1}^P (z - z_{\infty,i})} z^{P-N}$$

$H(z)$  ist eindeutig definiert durch Koeffizienten  $a_k$ ,  $b_k$  oder durch Nullstellen  $z_{0,k}$  / Polstellen  $z_{\infty,i}$  und Faktor  $b_0$  !

## Nutzen:

- **Stabilitätsanalyse:** Alle Pole innerhalb des EK ( $|z_{\infty,i}| < 1$ )?
- **Frequenzgang:** Geometrisches Abschätzen des Einflusses von P / N auf Punkte auf EK (nächster Abschnitt)
- **Systementwurf** im Frequenzbereich durch Platzieren von P / N

# Digitale Signalverarbeitung auf FPGAs

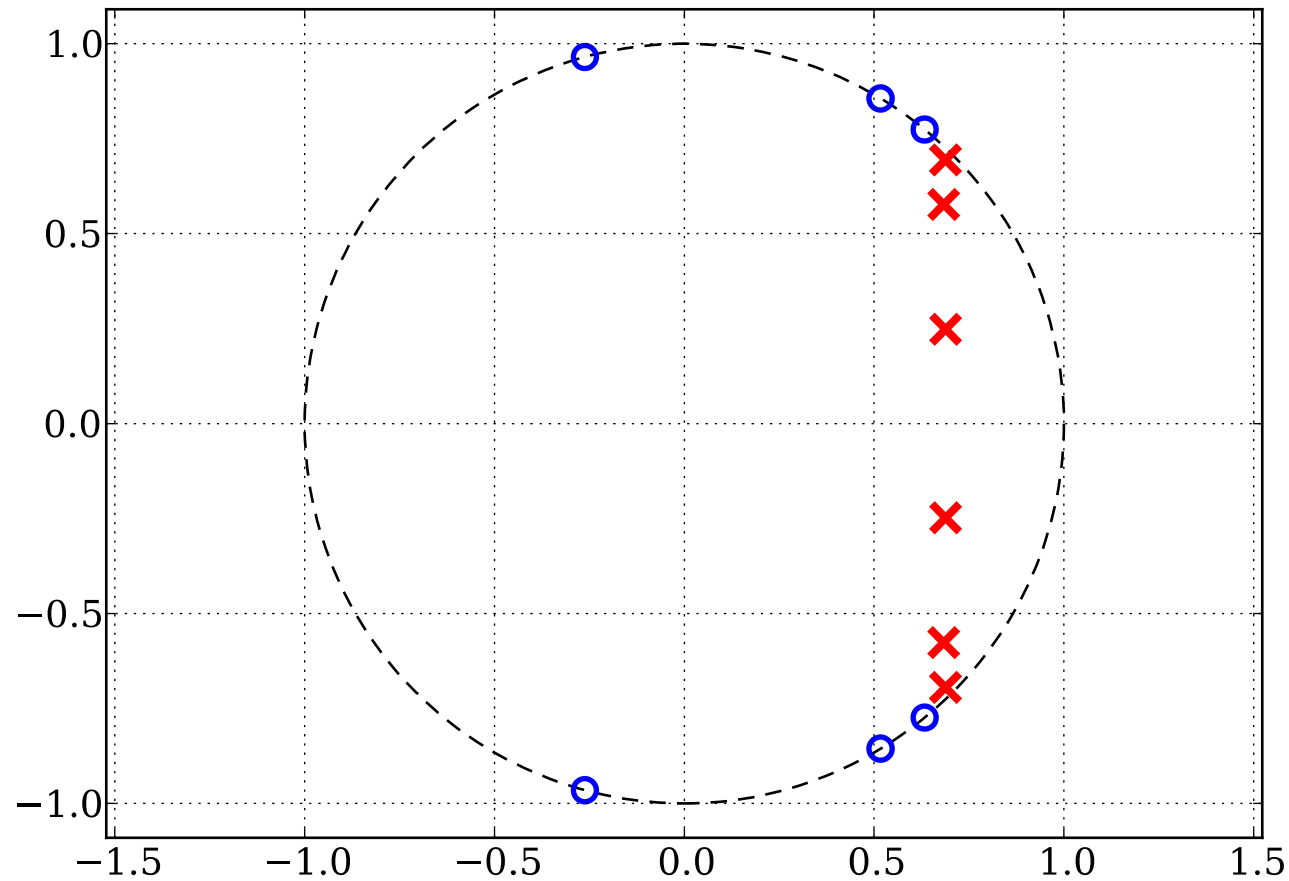
Kap. 2 Zeitdiskrete Signale und  
LTI-Systeme im Frequenzbereich

Teil 3 *Pole und Nullstellen*

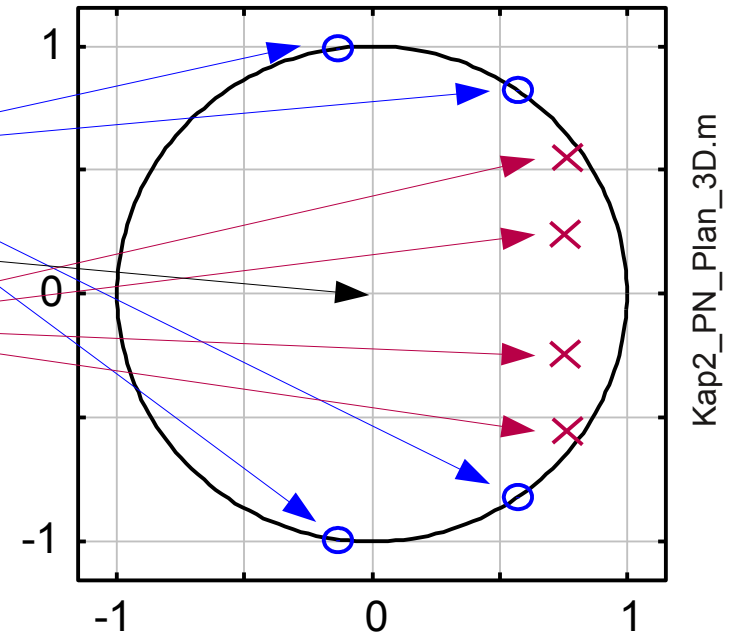
2016

Dr. Christian Münker

# Pole und Nullstellen



$$H(z) = \frac{\sum_{k=0}^N b_k z^{N-k}}{z^P - \sum_{i=1}^P a_i z^{P-i}} \frac{z^P}{z^N} = b_0 \frac{\prod_{k=1}^N (z - z_{0,k})}{\prod_{i=1}^P (z - z_{\infty,i})} z^{P-N}$$



(hier:  $P = N$ )

- Grafische Darstellung von Pol- und Nullstellen gibt viele Informationen auf einen Blick
- Stabilität, Reellwertigkeit, Frequenzcharakteristik, Kausalität, ...



# Einfluss von Polen / Nullstellen auf Frequenzgang



3D-Darstellung von  $H(z)$

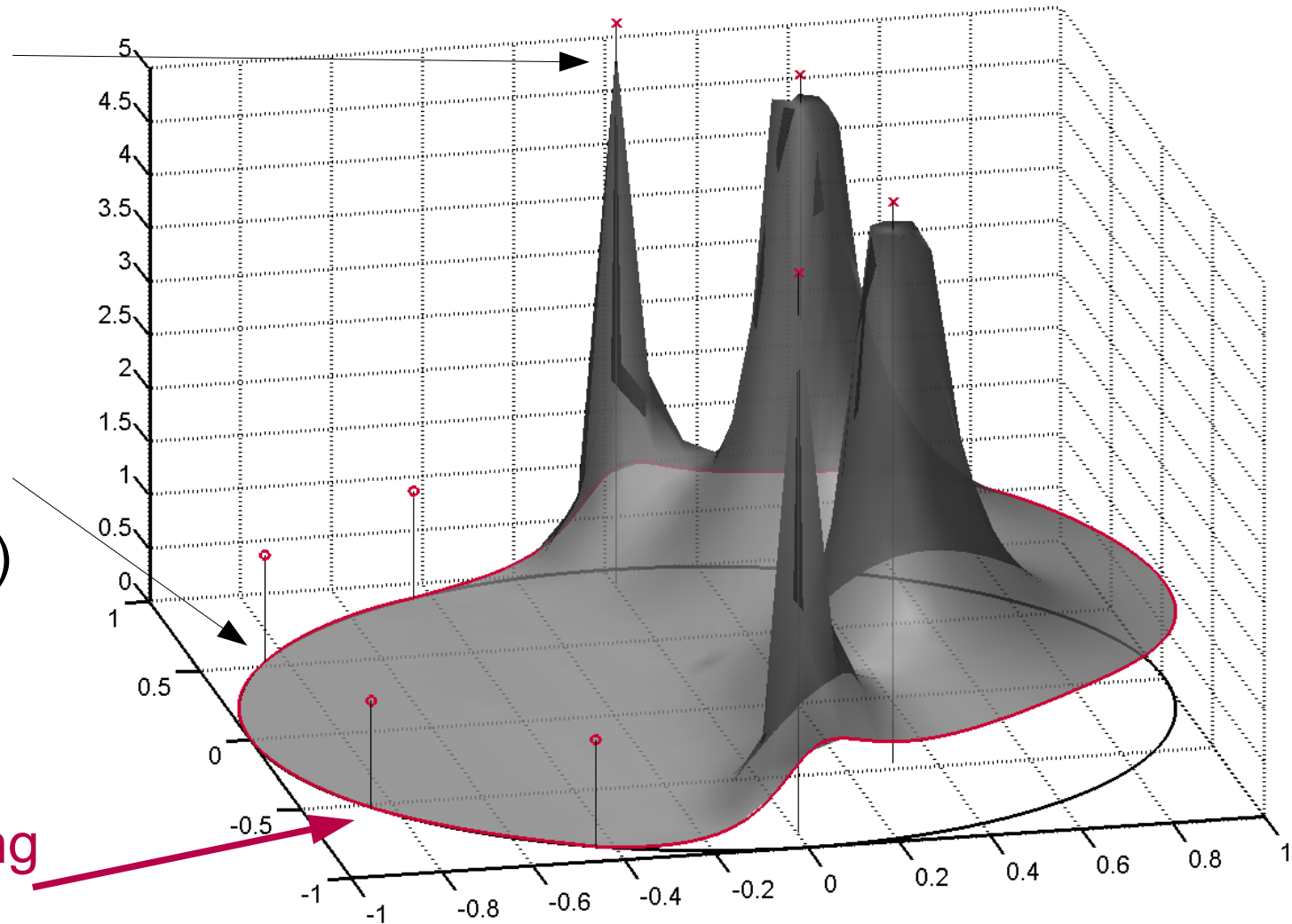
Polstellen =  
Zeltstangen

+

Nullstellen =  
Heringe  
(Befestigung)

=

Frequenzgang  
entlang EK

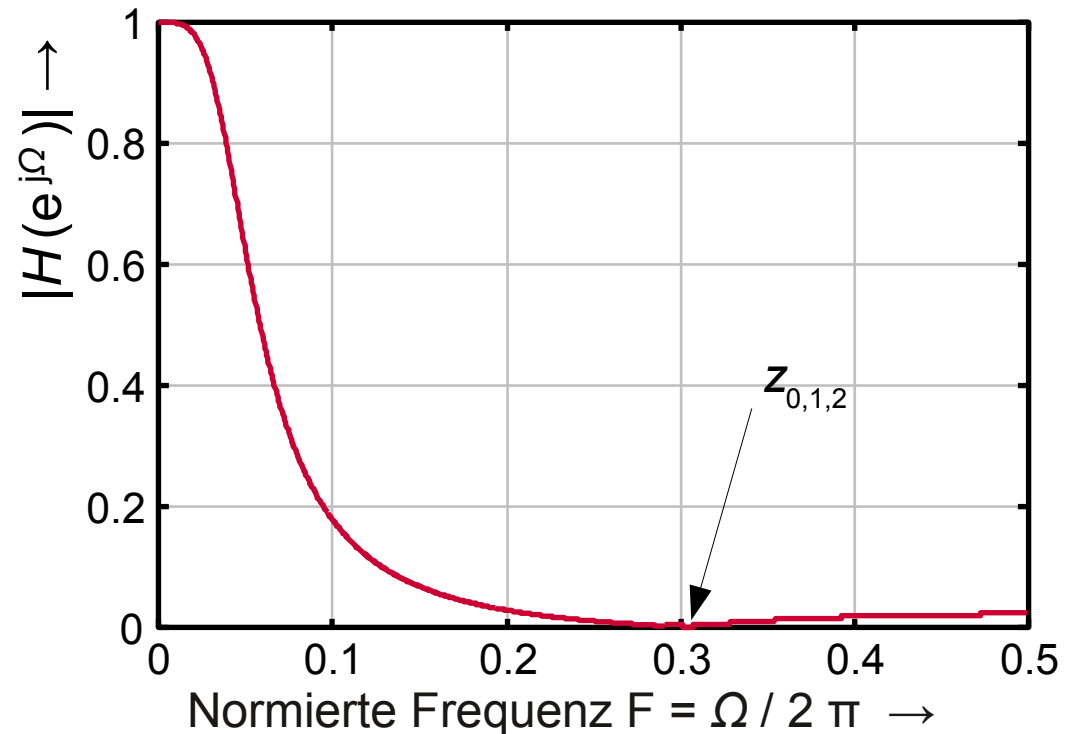
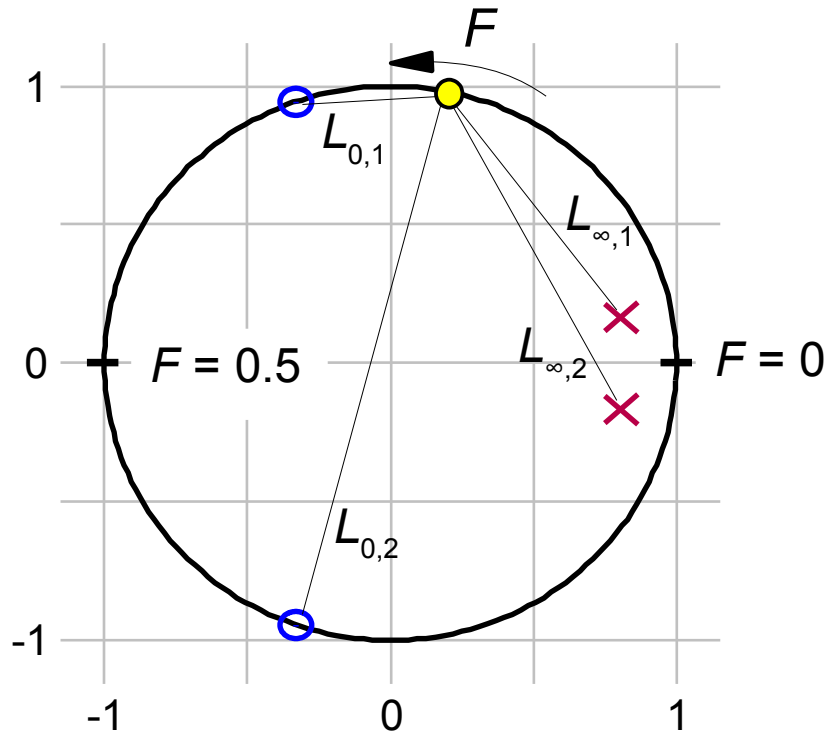


# Betragsgang aus P/N-Diagramm



$$H(z) = b_0 \frac{\prod_{k=1}^N (z - z_{0,k})}{\prod_{i=1}^P (z - z_{\infty,i})} z^{P-N} \Rightarrow |H(z = e^{j\Omega})| = b_0 \frac{\prod_{k=1}^N \overbrace{|e^{j\Omega} - z_{0,k}|}^{L_{0,i}}}{\prod_{i=1}^P \underbrace{|e^{j\Omega} - z_{\infty,i}|}_{L_{\infty,i}}} \underbrace{|e^{j\Omega(P-N)}|}_{=1}$$

## Geometrische Deutung:

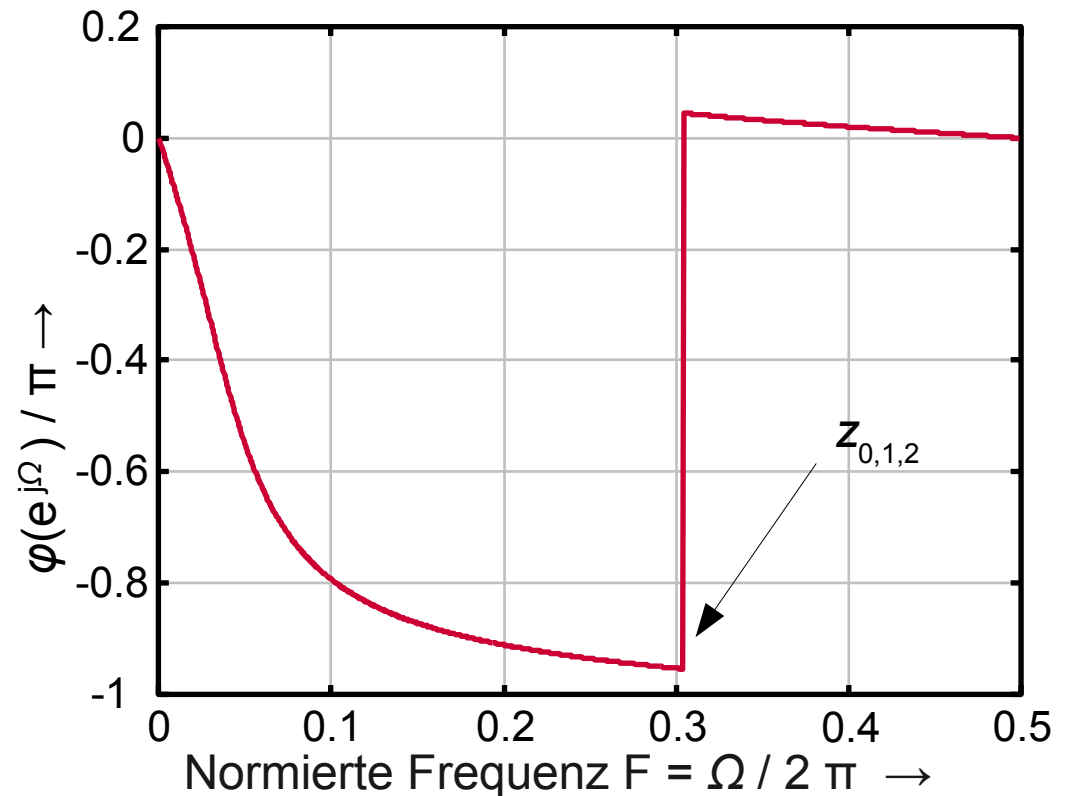
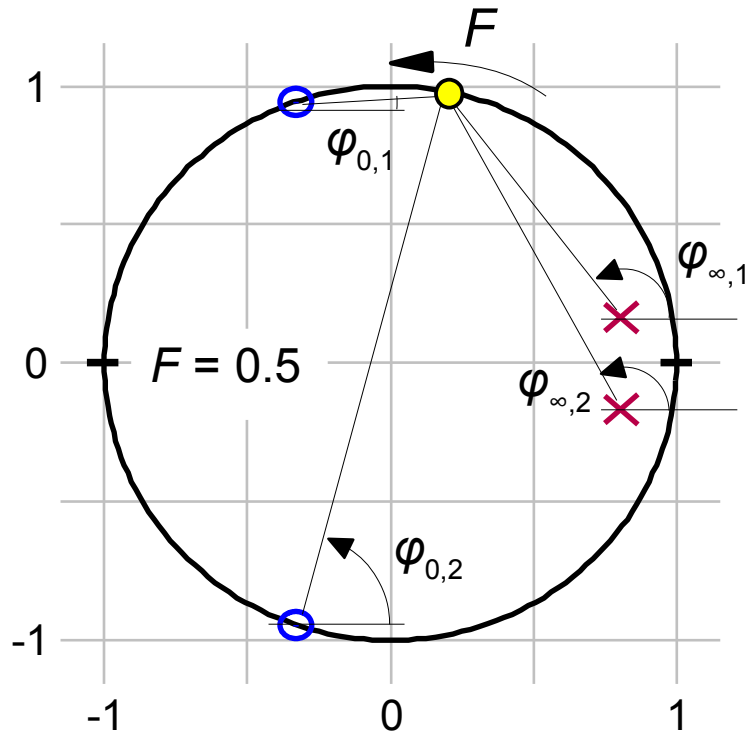


# Phasengang aus P/N-Diagramm



$$H(e^{j\Omega}) = b_0 \frac{\prod_{k=1}^N e^{j\Omega} - z_{0,k}}{\prod_{i=1}^P e^{j\Omega} - z_{\infty,i}} e^{j\Omega(P-N)} \Rightarrow \varphi(e^{j\Omega}) = \sum_{k=1}^N \underbrace{\angle(e^{j\Omega} - z_{0,k})}_{\varphi_{0,k}} - \sum_{i=1}^P \underbrace{\angle(e^{j\Omega} - z_{\infty,i})}_{\varphi_{\infty,i}} + \underbrace{\Omega(P-N)}_{= \text{lineare Phase}}$$

## Geometrische Deutung:



## Ausgangspunkt für Rechnungen / Simulationen: Zeitbereich

Impulsantwort / SFG eines transversalen (FIR) - Filters mit  $N$  Verzögerungen:

$$h[n] = \sum_{k=0}^N b_k \delta[n-k] \Leftrightarrow H(z) = \sum_{k=0}^N b_k z^{-k}, \quad b_k \in \mathbb{C} \quad \text{Übertragungsfunktion in Polynomform}$$

$$\Leftrightarrow H(z) = z^{-N} \sum_{k=0}^N b_k z^{N-k} \quad \text{Übertragungsfunktion in Polynomform mit positiven Exponenten} \rightarrow \text{Einfachere Zerlegung in Produktform}$$

$$\Leftrightarrow H(z) = b_0 z^{-N} \prod_{k=1}^N (z - z_{0,k}) \rightarrow N \text{ Nullstellen}$$

$\rightarrow N$  Polstellen im Ursprung ( $z^{-N}$ ) erkennbar

$H(z)$  **vollständig** definiert durch Koeff.  $b_k$  oder Nullstellen  $z_{0,k}$  und Faktor  $b_0$  !

## Ausgangspunkt für Rechnungen / Simulationen: Zeitbereich

DZGL / SFG eines rekursiven (IIR) Filters mit  $N$  Verzögerungen im transversalen und  $P$  Verzögerungen im rekursiven Teil:

$$y[n] = \sum_{k=0}^N b_k x[n-k] + \sum_{i=1}^P a_i y[n-i] \Rightarrow H(z) = \frac{\sum_{k=0}^N b_k z^{-k}}{1 - \sum_{i=1}^P a_i z^{-i}} = b_0 \frac{\prod_{k=1}^N (z - z_{0,k})}{\prod_{i=1}^P (z - z_{\infty,i})} z^{P-N}$$

Übertragungsfunktion in Produktform:

- $N$  Nullstellen,  $P$  Polstellen, zusätzlich
- $(P - N)$  Nullstellen bzw.  
 $(N - P)$  Polstellen im Ursprung ( $z^{P-N}$ )

$H(z)$  **vollständig** definiert durch Null- und Polstellen  $z_{0,k}$ ,  $z_{\infty,i}$  und Faktor  $b_0$  !

# Filter mit reellwertigen Koeffizienten

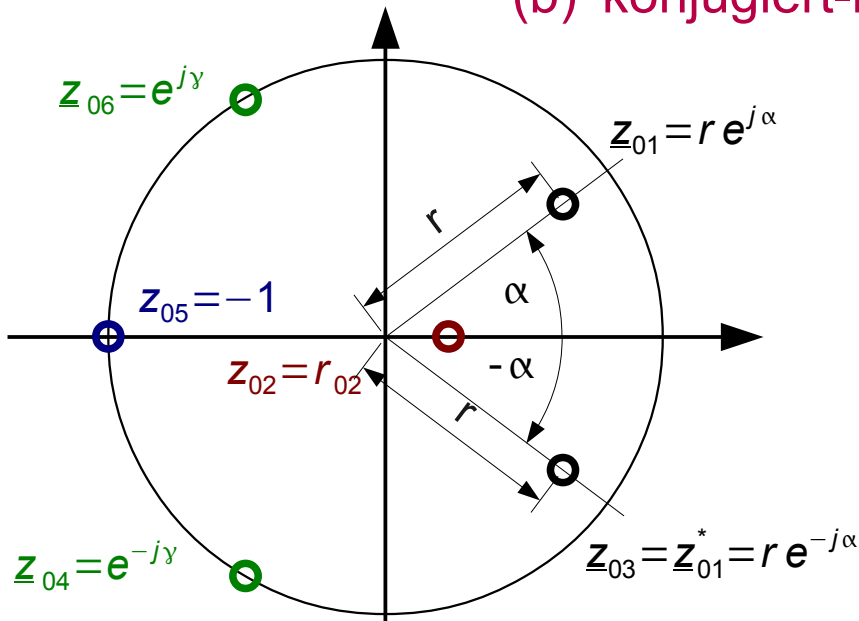


Wo müssen Nullstellen  $z_{0k}$  der Übertragungsfunktion  $H(z)$  liegen, damit ein Filter nur reellwertige Koeffizienten  $b_k$  hat (analog für Polstellen)?

$$h[n] = \sum_{k=0}^N b_k \delta[n-k] \Rightarrow H(z) = \sum_{k=0}^N b_k z^{-k} = \sum_{k=0}^N b_k \frac{z^{N-k}}{z^N} = b_0 z^{-N} \prod_{k=1}^N (z - z_{0k}), \quad b_k \in \mathbb{R}$$

**Erfüllbar für:** (a) **reellwertige** Nullstellen ( $z_{02}$  und  $z_{05}$ )

(b) **konjugiert-komplexe** Nullstellenpaare ( $z_{01} = z_{03}^*$ ,  $z_{04} = z_{06}^*$ )

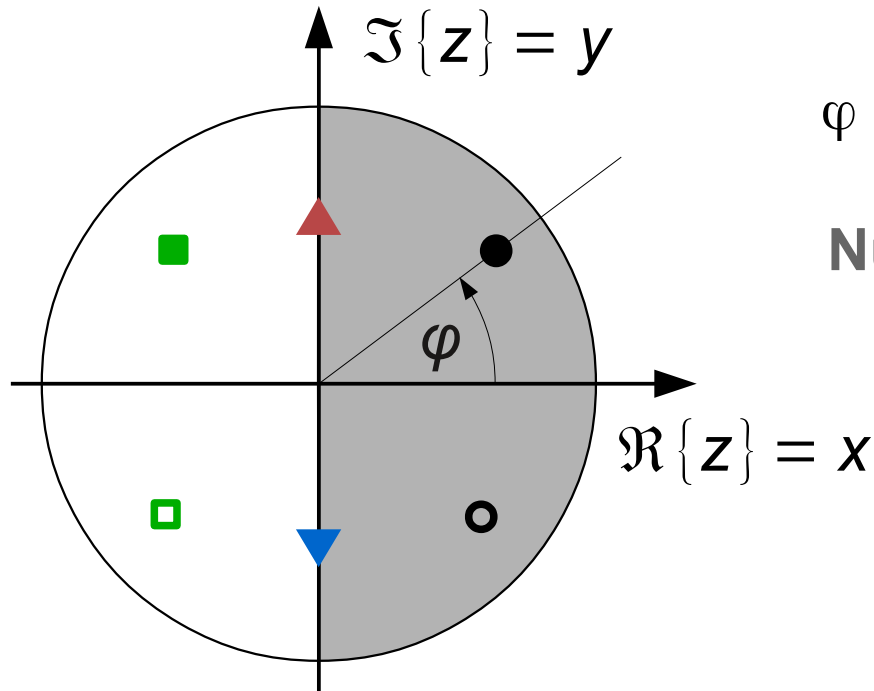


Produkt von zwei konjugiert komplexen Nullstellen liefert *reellwertigen* Beitrag!

$$(z - z_{0k})(z - z_{0k}^*) = z^2 - 2\Re\{z_{0k}\}z + |z_{0k}|^2$$

Gilt genauso für Polstellen(paare) bei rekursiven Systemen!

# Atan2 und arctan - Funktion



$$\varphi = \arctan \frac{y}{x} = \arctan \frac{-y}{-x}$$

Nur eindeutig für  $x > 0$  !

**Neue Definition:**  $\varphi = \text{atan2}(y, x) =$

$\arctan \frac{y}{x}$ für $x > 0$	○ ●
$\arctan \frac{y}{x} + \pi$ für $x < 0, y \geq 0$	■
$\arctan \frac{y}{x} - \pi$ für $x < 0, y < 0$	□
$\frac{\pi}{2}$ für $x = 0, y > 0$	▲
$-\frac{\pi}{2}$ für $x = 0, y < 0$	▼

**Matlab:** `atan2(y, x)` oder `angle(z)`

**Python:** `np.arctan2(y, x)`  
oder `np.angle(z)`

# Digitale Signalverarbeitung auf FPGAs

## Kap. 2 Zeitdiskrete Signale und LTI-Systeme im Frequenzbereich

### Teil 4 *Kausalität*

2016

Dr. Christian Münker



# caffeine causality loop



wronghands1.wordpress.com

© John Atkinson, Wrong Hands

„caffeine causality loop“  
(<http://wronghands1.com/2014/01/31/caffeine-causality-loop/>)  
von John Atkinson (wronghands1@gmail.com)  
unter CC-BY-NC-ND-3.0 Lizenz

$$H(z) = \frac{\sum_{k=0}^N b_k z^{-k}}{1 - \sum_{i=1}^P a_i z^{-i}} = b_0 \frac{\prod_{k=1}^N (z - z_{0,k})}{\prod_{i=1}^P (z - z_{\infty,i})} z^{P-N}$$

- Anzahl der Nullstellen außerhalb des Ursprungs ist Grad des Zählerpolynoms ( $N$ )
- Anzahl der Pole außerhalb des Ursprungs ist Grad des Nennerpolynoms ( $P$ )
- „Ordnung“ des Filters ist  $\max[N, P]$ 
  - falls  $P > N$ : es gibt  $P - N$  zusätzliche Nullstellen im Ursprung
  - falls  $P < N$ : es gibt  $N - P$  zusätzliche Pole im Ursprung (z.B. FIR:  $P = 0$ )

Da  $P / N$  im Ursprung keinen Einfluss auf Betragsgang haben (warum?), werden sie im  $P / N$ -Diagramm häufig nicht eingetragen.
- Aber welchen Einfluss haben  $P / N$  im Ursprung ???

Entwurf ausgehend von der Differenzengleichung oder der Struktur ergibt immer ein **kausales System** (= keine Reaktion am Ausgang bevor Stimulus am Eingang angelegt wird).

Voraussetzung: Es werden nur Verzögerungen verwendet, z.B.  $x[n-3]$

Das gleiche gilt, wenn man mit der Übertragungsfunktion  $H(z)$  in Polynomform mit *negativen Koeffizienten* beginnt, z.B.  $z^{-3}$  (warum?)

Startet man mit der Polynomform mit positiven Koeffizienten oder durch Angabe der P/N, können **akausale Systeme** entstehen.

# Kausalität von $H(z)$ (2)



Kausalität lässt sich am Einfachsten im Zeitbereich (Differenzengleichung) beurteilen,  $y[n]$  darf nicht abhängen von  $x[n+k]$ :

$$H(z) = \frac{Y(z)}{X(z)} = \frac{k \prod_{i=1}^N (z - z_{0,i})}{\prod_{i=1}^P (z - z_{\infty,i})} = \frac{\sum_{i=0}^N \tilde{b}_i z^i}{z^P + \sum_{i=1}^P a_i z^i} = \frac{z^N \sum_{i=0}^N \tilde{b}_{N-i} z^{-i}}{z^P \left( 1 + \sum_{i=1}^P a_i z^{-i} \right)} = \frac{z^{N-P} \sum_{i=0}^N b_i z^{-i}}{1 + \sum_{i=1}^P a_i z^{-i}}; \quad b_i = \tilde{b}_{N-i}$$

$$\Rightarrow Y(z) = z^{N-P} \sum_{i=0}^N b_i z^{-i} X(z) - \sum_{i=1}^P a_i z^{-i} Y(z)$$



$$y[n] = \delta[n+N-P] * \sum_{i=0}^N b_i x[n-i] - \sum_{i=1}^P a_i y[n-i] = \sum_{i=0}^N b_i x[n+N-P-i] - \sum_{i=1}^P a_i y[n-i]$$

→  $N \leq P$ , ansonsten wird System akausal!

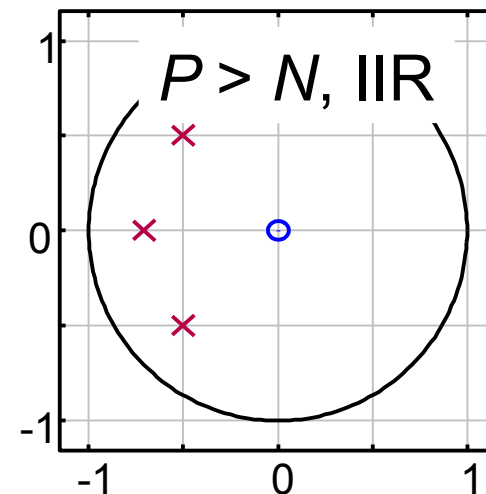
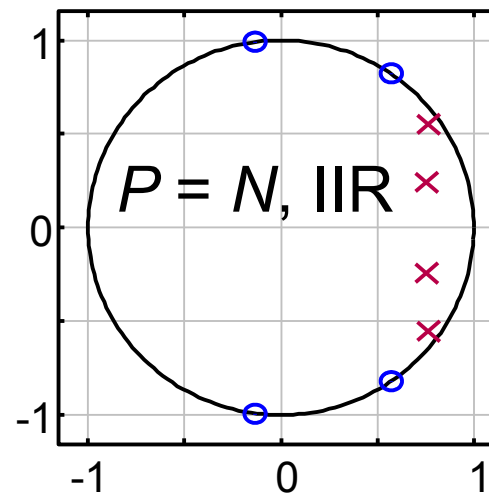
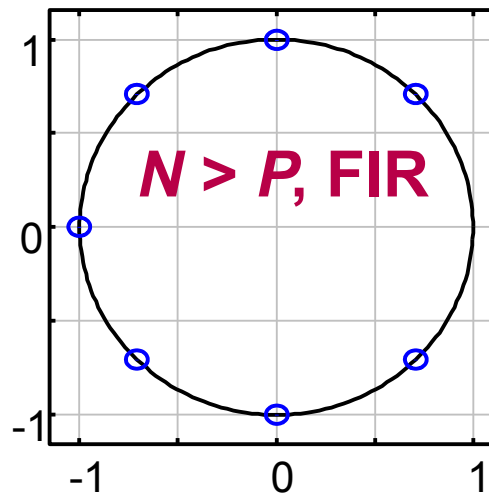
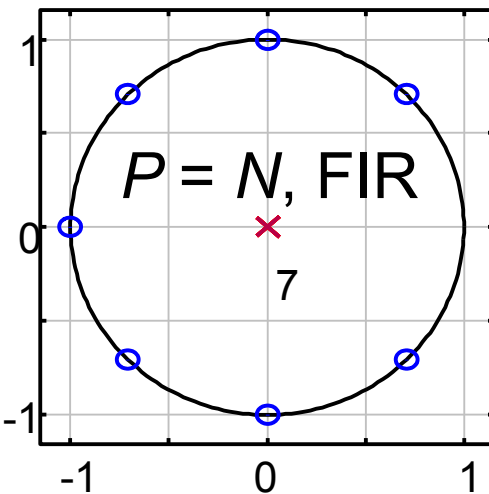
# Kausalität von $H(z)$ (3)



$$H(z) = \frac{Y(z)}{X(z)} = k \frac{\prod_{i=1}^N (z - z_{0,i})}{\prod_{i=1}^P (z - z_{\infty,i})} = \frac{\sum_{i=0}^N \tilde{b}_i z^i}{z^P + \sum_{i=1}^P a_i z^i} = \frac{\sum_{i=0}^N b_i z^{-i}}{1 + \sum_{i=1}^P a_i z^{-i}} z^{N-P}; \quad b_i = \tilde{b}_{N-i}$$

- $P > N$  : zusätzliche Verzögerung,  $z^{-(N-P)}$
- $N > P$  : nicht-kausales System,  $z^{+(N-P)}$

Kap2\_PN\_Plan\_3D.m



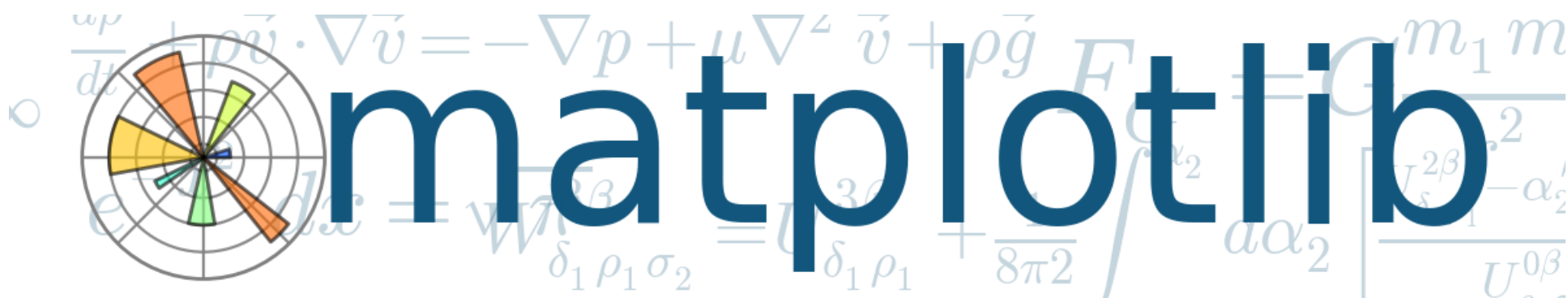
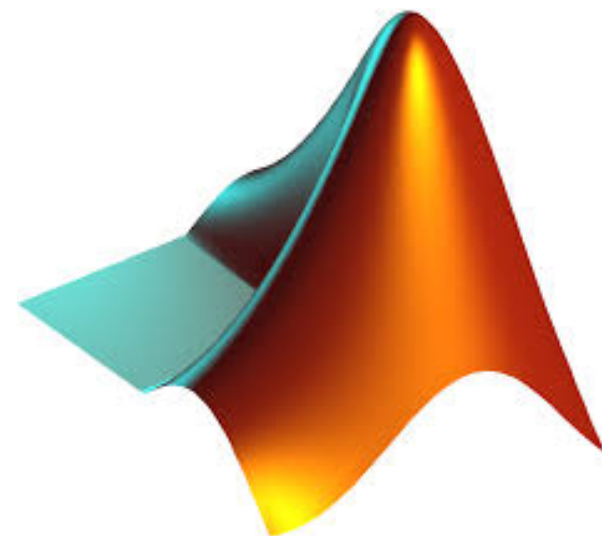
# Digitale Signalverarbeitung auf FPGAs

Kap. 2 Zeitdiskrete Signale und  
LTI-Systeme im Frequenzbereich

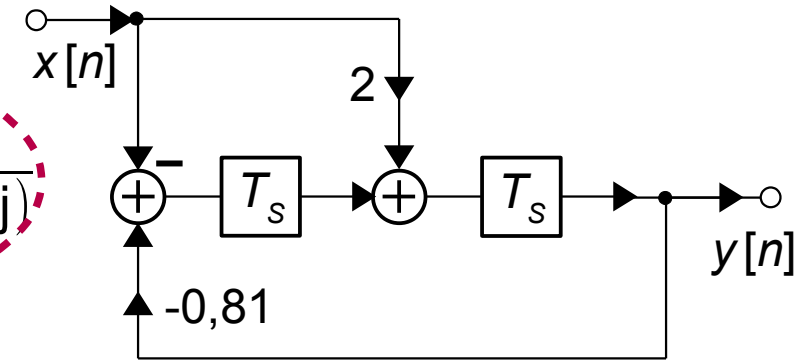
Teil 5 *Darstellung von  $H(z)$  mit Python und Matlab*

2016

Dr. Christian Münker



$$H(z) = \frac{2z^{-1} - z^{-2}}{1 + 0,81z^{-2}} = \frac{2z - 1}{z^2 + 0,81} = \frac{2(z - 0.5)}{(z - 0.9j)(z + 0.9j)}$$



**Zähler- / Nennerkoeff.:** `b = [2, -1]; a = [1, 0, 0.81];`

**Nullstellen / Pole:** `N = [0; 0.5]; P = [-0.9*j; 0.9*j];`

**Umrechnung:**  
`N = roots(b); P = roots(a);`  
`b = k0 * poly(P); a = poly(N);`

**oder** `[b, a] = zp2tf(z, p, k0); bzw. [z, p, k0] = tf2zp(b, a);`

**Achtung:** In Matlab sind Koeffizienten Zeilenvektoren, P/N Spaltenvektoren!

Python: `np.roots()`, `np.poly()`, `scipy.signal.zpk2tf()` und `tf2zpk`



## Pol/Nullstellen-Diagramm

**Nullstellen / Pole:** `zplane(N, P) ;`

**Zähler- / Nennerkoeff.:** `zplane(b, a) ;`

Je nachdem ob `zplane` mit Spalten- oder Zeilenvektoren aufgerufen wird, werden die Vektoren als P/N oder Koeffizienten interpretiert!

$P$  bzw.  $a$  sind optional. Welche Werte haben  $P$  und  $a$  bei FIR-Filtern?

## Frequenzgang

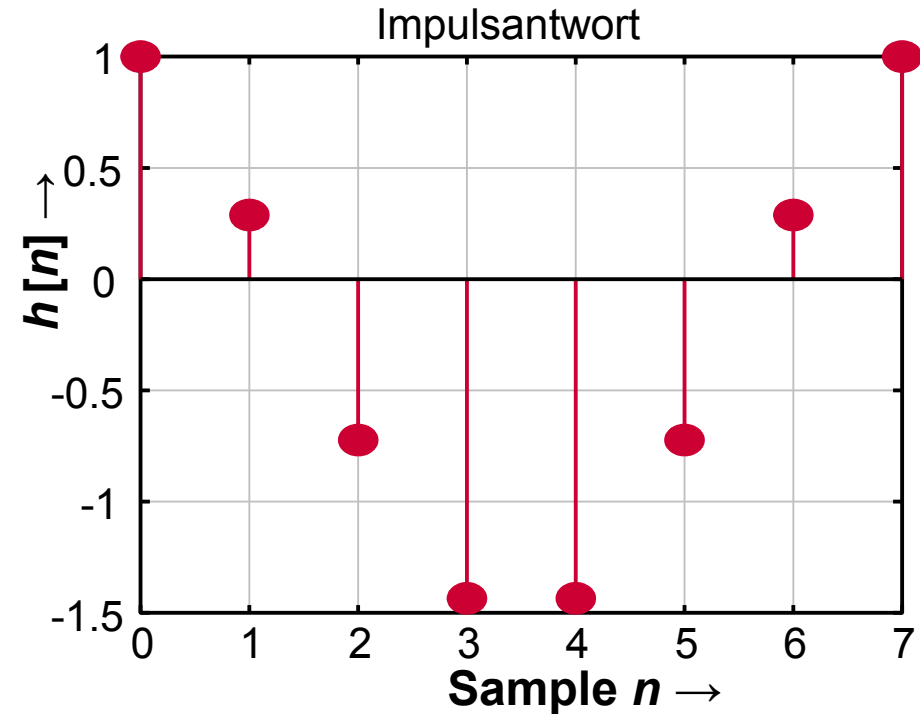
**Kombiniert Betrag / Phase:** `freqz(b, a) ;`

**Detaillierte Plots:** `[F, H] = freqz(b, a) ;`

Weitere Optionen sind die Anzahl der Frequenzpunkte und die Abtastfrequenz (Python: `scipy.signal.freqz()`).

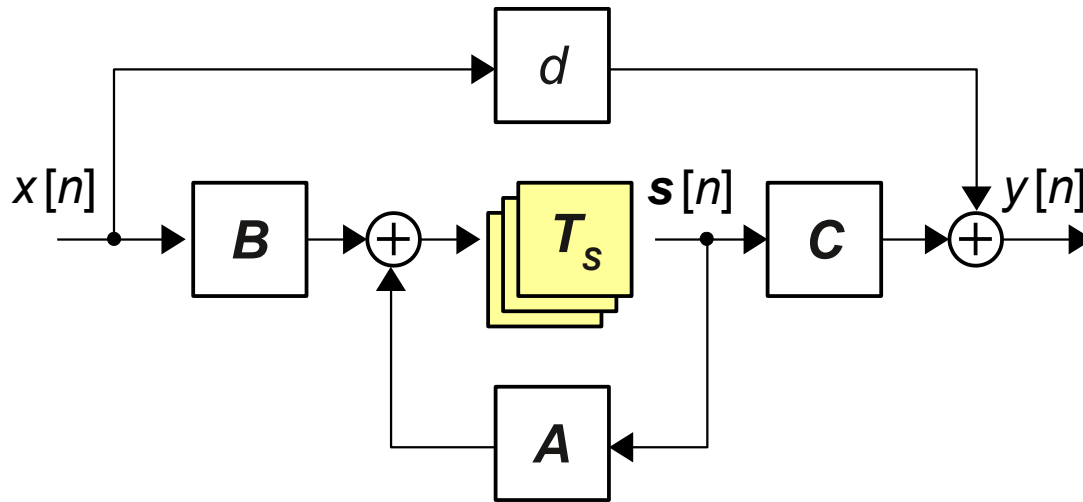
```
[himp, t]=impz (b, a, n, f_S) ;  
stem(t, himp) ;
```

- Wenn P / N (Produktform) gegeben sind: Bestimmung der Koeffizienten **b**, **a** mit `poly()`
- Koeffizienten **b** entsprechen Impulsantwort bei FIR-Filter



$a$ ,  $n$ ,  $f_S$  sind optional.  $n$  gibt die Anzahl der zu plottenden Impulse an, ansonsten versucht Matlab eine gute Darstellung zu finden. Durch Angabe von  $f_S$  wird die  $t$ -Achse mit absoluten Zeitangaben skaliert.

# State-Space Darstellung von $H(z)$



$$\mathbf{s}[n+1] = \mathbf{A}\mathbf{s}[n] + \mathbf{B}x[n]$$

$$y[n] = \mathbf{C}\mathbf{s}[n] + d x[n]$$



$$\mathbf{S}(z)\mathbf{z} = \mathbf{A}\mathbf{S}(z) + \mathbf{B}X(z)$$

$$Y(z) = \mathbf{C}\mathbf{S}(z) + d X(z)$$

- Beschreibung eines beliebigen LTI Netzwerks mit Hilfe seiner **Zustandsvariablen**  $\mathbf{s}[n]$  (= **state** variables, Register) und Differenzen/Differenzialgleichungen erster Ordnung
- Eingangssignal  $x[n]$ , Ausgangssignal  $y[n]$  und die Zustandsvariablen  $\mathbf{s}[n]$  sind über die Vektoren / Matrizen  $\mathbf{A}$ ,  $\mathbf{B}$ ,  $\mathbf{C}$ ,  $d$  miteinander verknüpft
- Hier: Single-Input, Single-Output (SISO), aber MIMO genauso möglich

# Digitale Signalverarbeitung auf FPGAs

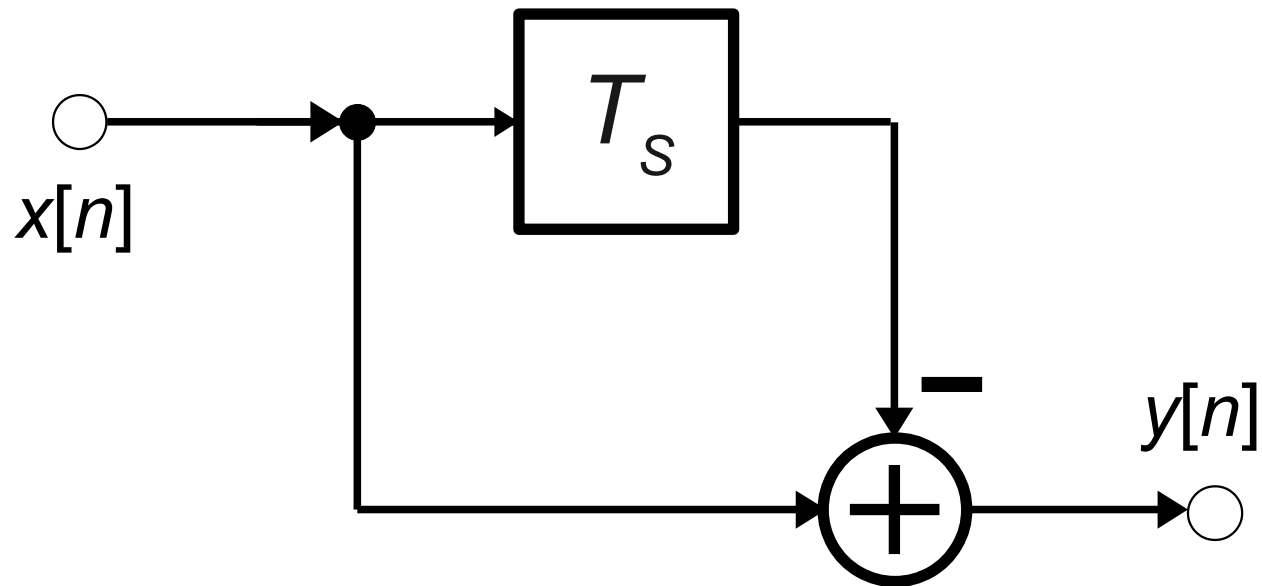
Kap. 2 Zeitdiskrete Signale und  
LTI-Systeme im Frequenzbereich

Teil 6 *Einfache Filter*

2016

Dr. Christian Münker

# Einfache Filter



**Euler**

$$\begin{aligned} e^{\pm j\Omega} &= \cos \Omega \pm j \sin \Omega \\ e^{j\Omega} + e^{-j\Omega} &= 2 \cos \Omega \\ e^{j\Omega} - e^{-j\Omega} &= 2j \sin \Omega \end{aligned}$$

## Endliche geometrische Reihe

$$\begin{aligned} H(z) &= \sum_{n=0}^N z^{-n} = \frac{1 - z^{-(N+1)}}{1 - z^{-1}} \\ \Rightarrow H(e^{j\Omega}) &= \sum_{n=0}^N e^{-jn\Omega} = \frac{1 - e^{-j(N+1)\Omega}}{1 - e^{-j\Omega}} \end{aligned}$$

**Zerlegung in  
„Spiegelpolynome“**

$$\begin{aligned} H(z) &= 1 + z^{-N} = z^{-N/2} (z^{N/2} + z^{-N/2}) \\ \Rightarrow H(e^{j\Omega}) &= e^{-jN\Omega/2} (e^{jN\Omega/2} + e^{-jN\Omega/2}) = 2e^{-jN\Omega/2} \cos(N\Omega/2) \end{aligned}$$

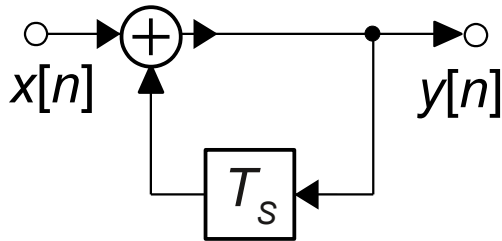
## N-fache Nullstelle auf EK

$$1 - z^N = 0 \Rightarrow z = \sqrt[N]{1} = \sqrt[N]{e^{j2k\pi}} \Rightarrow z = e^{j2k\pi/N} \text{ mit } k = \dots, -1, 0, 1, \dots$$

$$1 + z^N = 0 \Rightarrow z = \sqrt[N]{-1} = \sqrt[N]{e^{j\pi(2k+1)}} \Rightarrow z = e^{j\pi(2k+1)/N} \text{ mit } k = \dots, -1, 0, 1, \dots$$

$\Rightarrow N$  Nullstellen auf EK verteilt mit  $\Delta\varphi = 2\pi/N$

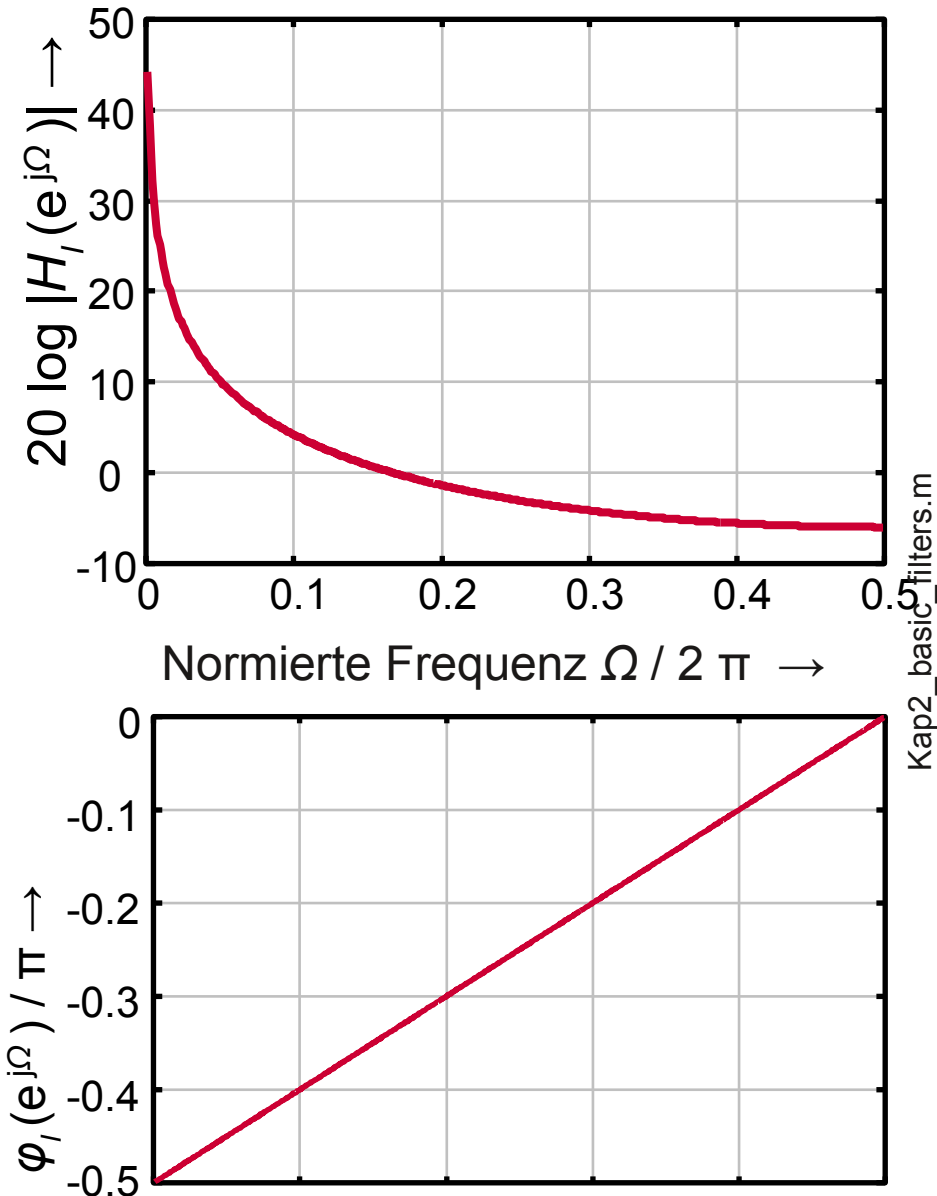
# Einfache Filter: Integrator

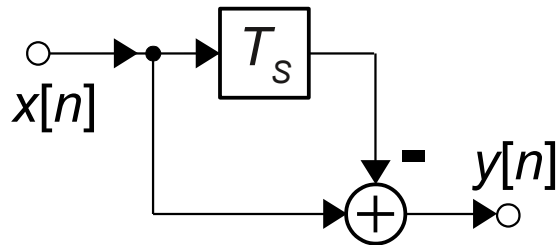


$$H_I(z) = \frac{1}{1-z^{-1}} = \frac{z}{z-1}$$

$$\begin{aligned} H_I(e^{j\Omega}) &= \frac{1}{1-e^{-j\Omega}} = \frac{1}{e^{-j\Omega/2}(e^{+j\Omega/2}-e^{-j\Omega/2})} \\ &= \frac{e^{j\Omega/2}}{2j\sin(\Omega/2)} \approx \frac{1}{j\Omega} \text{ für } \Omega \ll 1 \end{aligned}$$

- P/N-Diagramm?
- Stabilität?
- Lineare Phase??

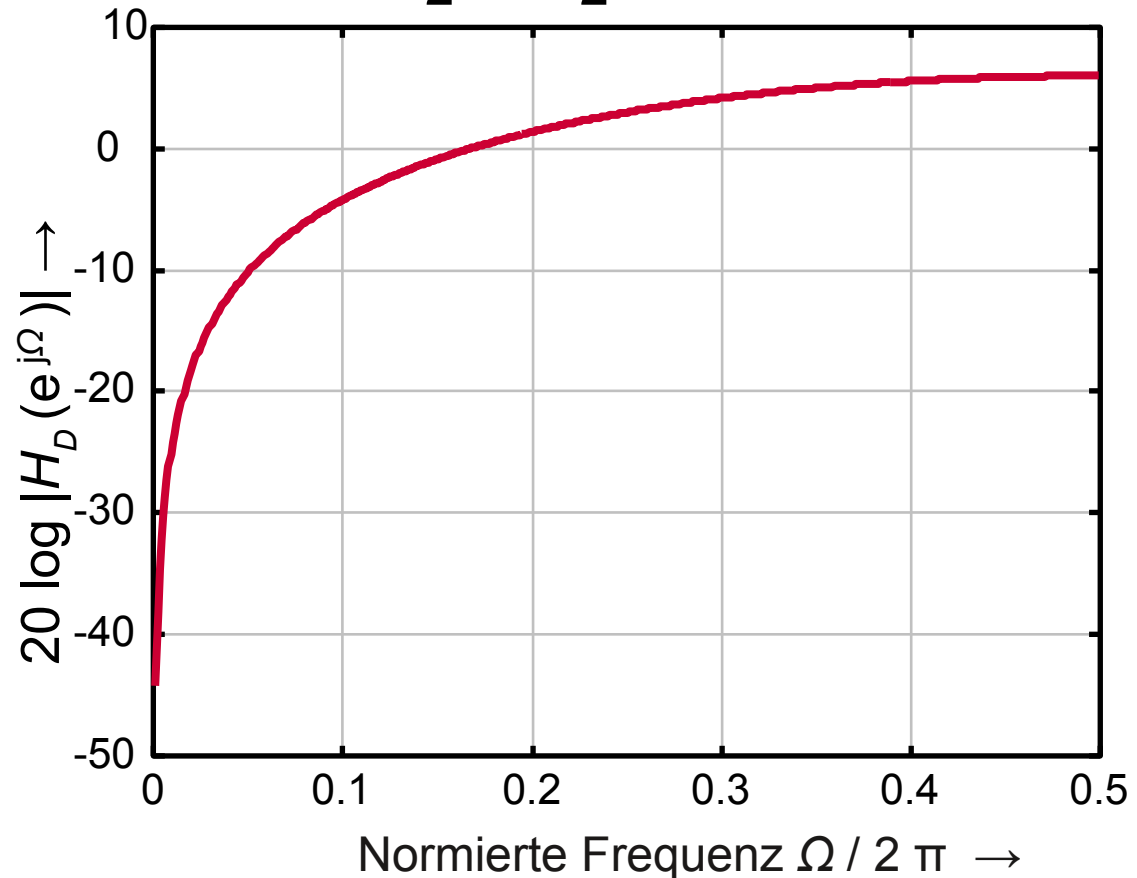




$$H_D(z) = 1 - z^{-1}$$

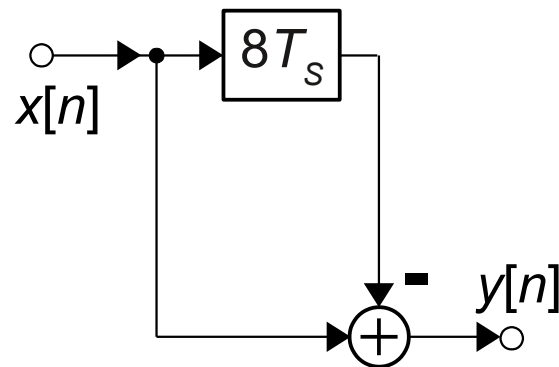
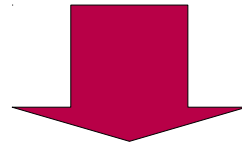
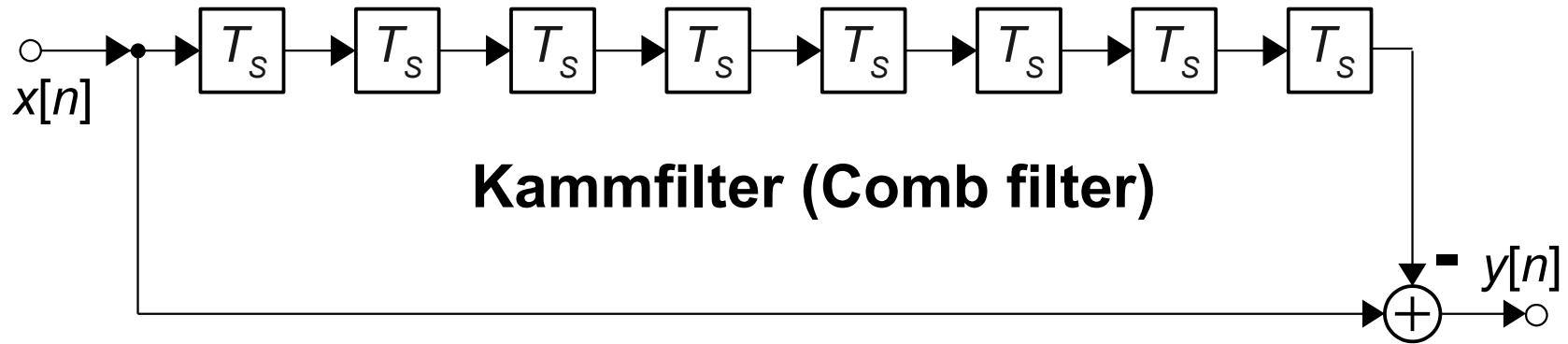
- $H_D(z = 1)$ ?  $H_D(z = -1)$ ?
- P/N-Diagramm?
- Stabilität?
- Phasengang?

$$\begin{aligned} H_D(e^{j\Omega}) &= 1 - e^{-j\Omega} = e^{-j\Omega/2} (e^{+j\Omega/2} - e^{-j\Omega/2}) \\ &= 2j e^{-j\Omega/2} \sin(\Omega/2) \approx j\Omega \text{ für } \Omega \ll 1 \\ \varphi_D(\Omega) &= \frac{\pi - \Omega}{2} - \frac{\pi}{2} (1 - \text{sgn}(\sin(\Omega/2))) \end{aligned}$$





# Einfache Filter: Kammfilter mit $N = 8$ Delays (1)



$$H_C(z) = 1 - z^{-8}$$

# Einfache Filter: Kammfilter mit $N = 8$ Delays (2)



$$H_C(z) = 1 - z^{-N} \Rightarrow$$

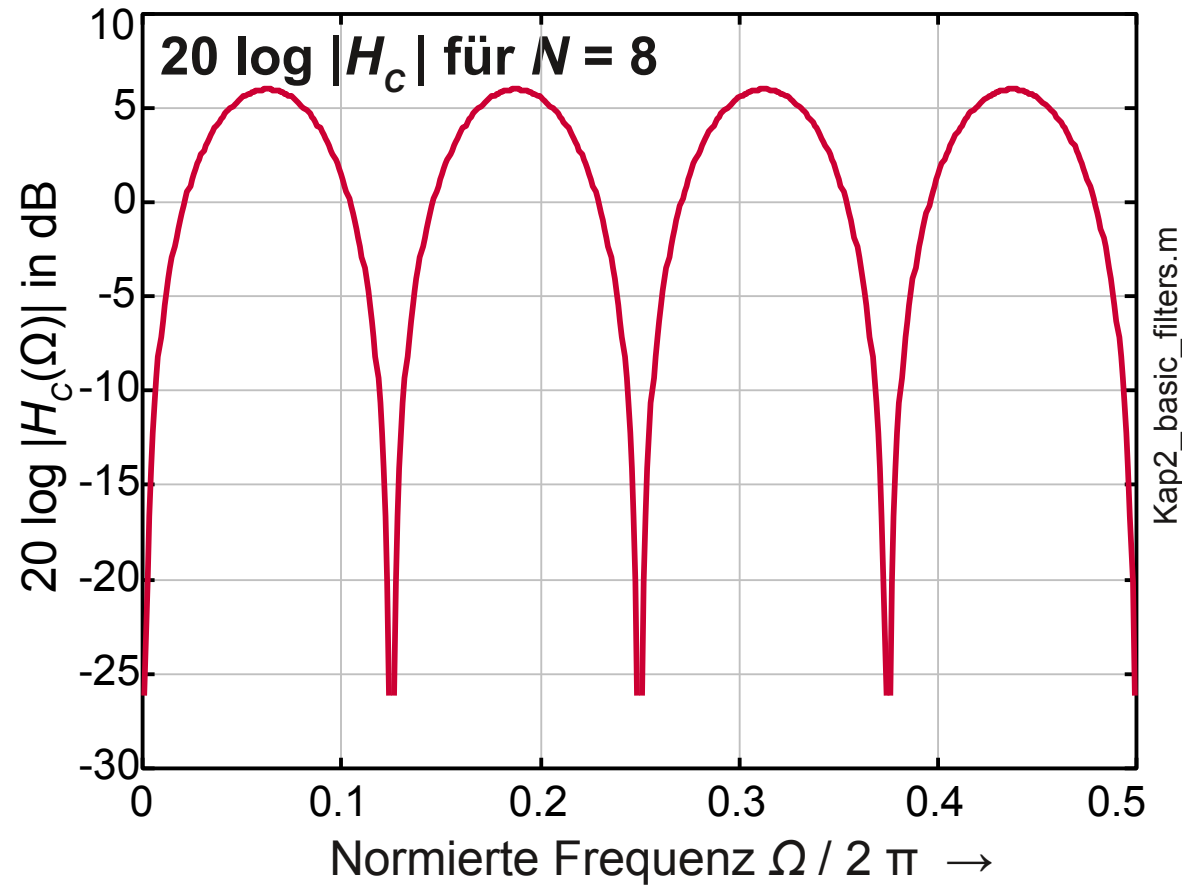
$$H_C(e^{j\Omega}) = 1 - e^{-jN\Omega}$$

$$= e^{-jN\Omega/2} \left( e^{+jN\Omega/2} - e^{-jN\Omega/2} \right)$$

$$= 2j e^{-jN\Omega/2} \sin(N\Omega/2)$$

$\Rightarrow$   **$N$  Nullstellen** in  $0 \leq \Omega < 2\pi$

- P/N-Diagramm?
- Stabilität?
- Phasengang?



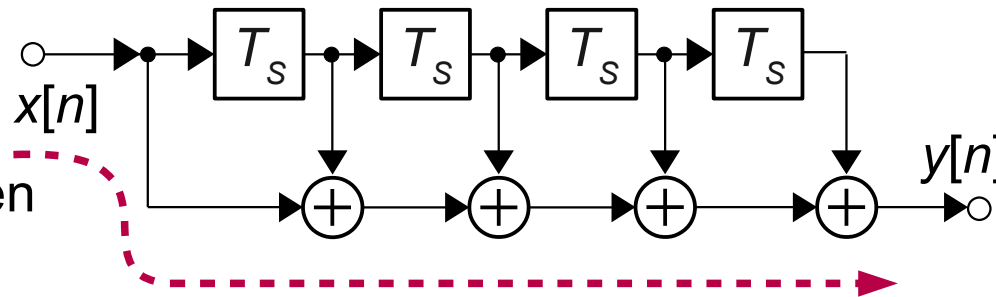
**Anwendungen:** Unterdrückung von periodischen Spektren (z.B. Fernsehtechnik), Teil des Cascaded Integrator Comb (CIC) Filters

# Einfache Filter: Moving Average (MA) Filter



**Ordnung  $N = 4$ :**

$N$  Delays,  
 $N+1$  Koeffizienten  
mit Wert 1



**Hardware:**

$N$  Register und Addierer,  
 $N$  Additionen / Sample

**Kritischer Pfad:**

$N$  Addierer

## Grundlegende Struktur für Digitale Signalverarbeitung:

- Gleiche Problemstellung bei rect-Puls und rect-Fenster !
- Multipliziererlose Filter sind wichtig vor allem für FPGA-Implementierungen !

# MA-Filter ( $N = 4$ ): Pol- und Nullstellen



$$h[n] = \{1; 1; 1; 1; 1\} = \sum_{m=0}^4 \delta[n-m]$$

$$\Rightarrow H(z) = 1 + z^{-1} + z^{-2} + z^{-3} + z^{-4} = \frac{1 - z^{-5}}{1 - z^{-1}} \quad (\text{mit endl. geom. Reihe}) = \frac{z^5 - 1}{(z - 1)z^4}$$

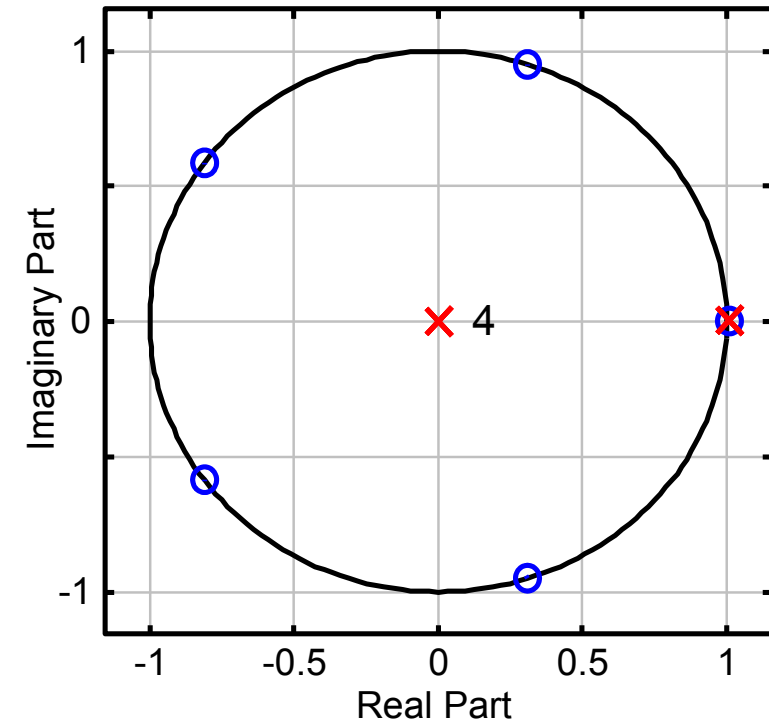
**Nullstellen:**  $z^5 - 1 = 0 \Rightarrow z = \sqrt[5]{1} = \sqrt[5]{e^{j2k\pi}} \Rightarrow z = e^{j2k\pi/5}$  mit  $k = \dots, -1, 0, 1, \dots$   
 $\Rightarrow$  5 Nullstellen auf EK verteilt mit  $\Delta \varphi = 2\pi/5$

**Polstellen:** Vier Polstellen bei  $z = 0$ ,  
Eine Polstelle und eine Nullstelle  
bei  $z = 1$  ( $f = 0$ ) **kompensieren sich**

$\rightarrow$  4 wirksame Nullstellen!

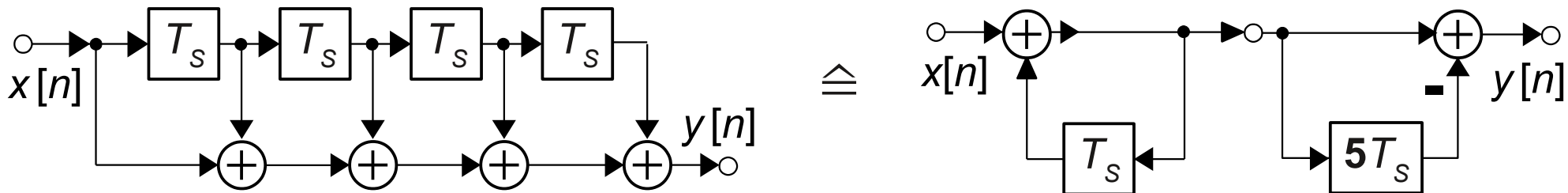
## Matlab / Python

```
b = [1, 1, 1, 1, 1];  
zplane(b);
```



- MA-Filter kann auch als Kettenschaltung aus Kammfilter und Integrator realisiert werden
- Pol des Integrators würde Nullstelle bei  $z = 1$  aufheben
- Theoretisch gleiche ÜF wie MA-Filter mit weniger Addierern
- Praktisch implementierbar? Reihenfolge Kammfilter / Integrator?

**Siehe auch:** Cascaded Integrator-Comb-Filter mit Überlauf-Arithmetik (Kap. 9)



# MA-Filter ( $N = 4$ ): Frequenzgang (1)



$$H(z = e^{j2\pi f T_s}) \Rightarrow \begin{cases} H(f=0) & = H(z=+1) = 5 \\ H(f=f_s/4) & = H(z=j) = 1 \\ H(f=f_s/2) & = H(z=-1) = 1 \end{cases}$$
$$= \sum_{n=0}^4 e^{-jn\Omega} = e^{-j2\Omega} \sum_{n=-2}^2 e^{-jn\Omega} = \underbrace{e^{-j2\Omega}}_{\text{Phase}} \underbrace{(1 + 2\cos(\Omega) + 2\cos(2\Omega))}_{\text{Amplitude und Vorzeichen}}$$

Berechnung einzelner Werte von  $H(f)$  aus Summe von cos-Funktionen leicht möglich, aber unpraktische Form für weitere Umformungen und Analysen.

$$H(z) = \frac{1-z^{-5}}{1-z^{-1}} \Rightarrow H(z=e^{j\Omega}) = \frac{1-e^{-j5\Omega}}{1-e^{-j\Omega}} = \frac{e^{+j5\Omega/2} - e^{-j5\Omega/2}}{e^{+j\Omega/2} - e^{-j\Omega/2}} \cdot \frac{e^{-j5\Omega/2}}{e^{-j\Omega/2}}$$
$$= \underbrace{\frac{\sin(5\Omega/2)}{\sin(\Omega/2)}}_{\text{Amplitude}} \underbrace{e^{-j2\Omega}}_{\text{Phase}} = 5 \underbrace{\frac{\sin(5\Omega/2)}{5\sin(\Omega/2)}}_{:= \text{di}_5(\Omega)} \underbrace{e^{-j2\Omega}}_{\text{Phase}}$$

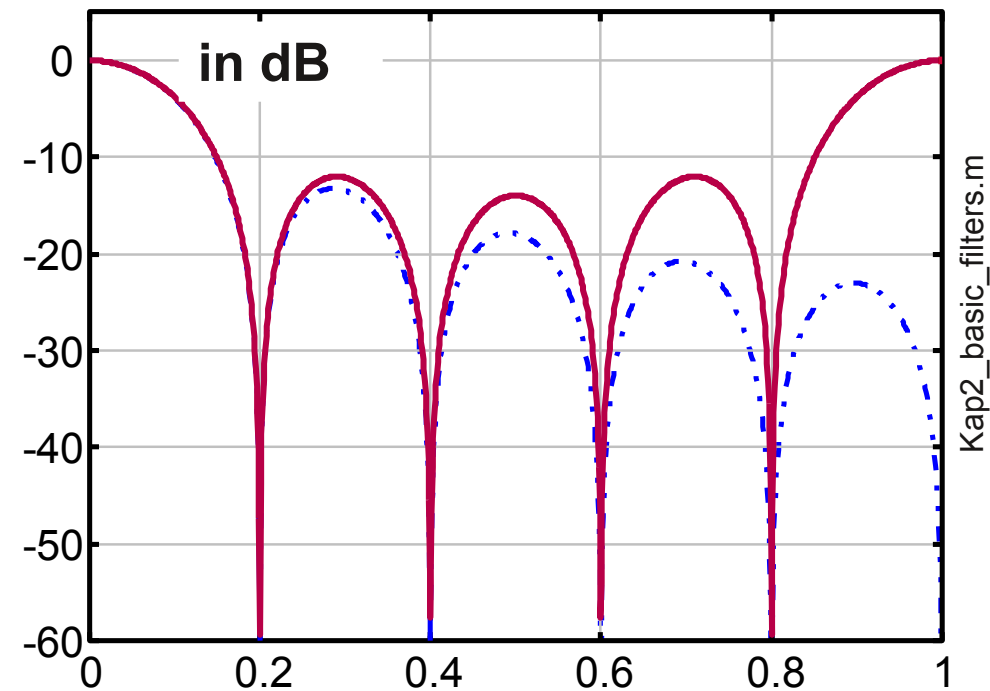
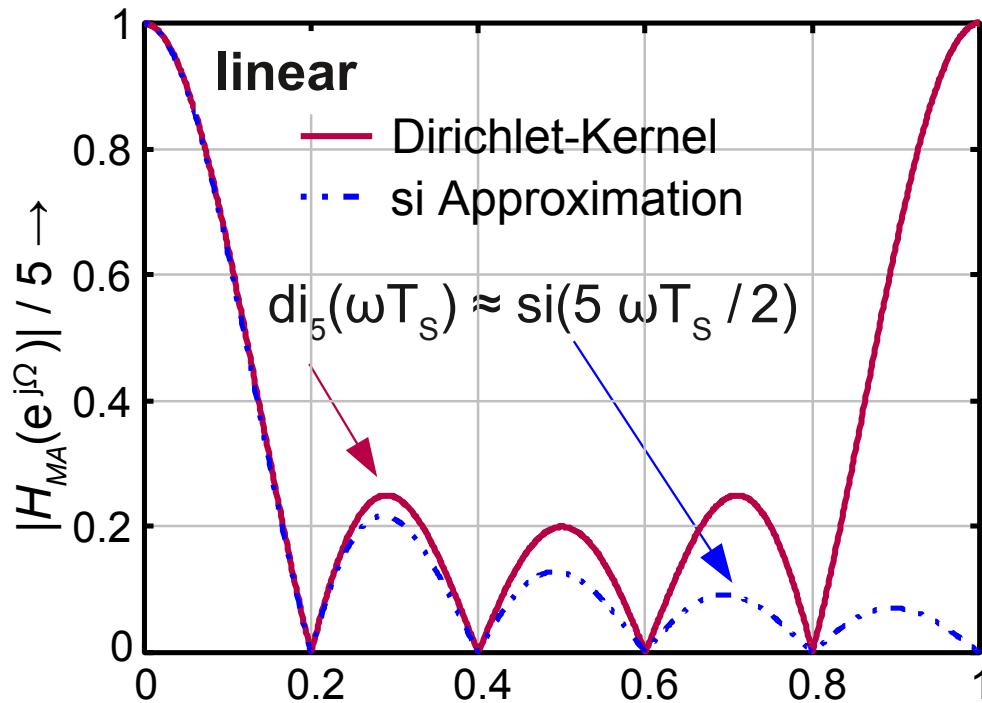
# MA-Filter ( $N = 4$ ): Frequenzgang (2)



**Beispiel:** MA Filter mit  $N = 4$  Delays und  $N + 1 = 5$  Koeffizienten

➔  $h[n]$  ist rect-Puls der Länge  $N + 1 = 5$

➔  $H(z)$  hat  $N = 4$  Nullstellen im Bereich  $f = 0 \dots f_s$  ( $F = 0 \dots 1$ )



Normierte Frequenz  $\Omega / 2 \pi$  bzw.  $F = f / f_s \rightarrow$

# MA-Filter der Ordnung $N$ / Dirichlet-Kernel



Spektrum eines MA-Filters / Rechteckpulses mit Länge  $N + 1$

$$\begin{aligned} h[n] &= \sum_{m=0}^N \delta[n-m] \Rightarrow H(z) = \sum_{m=0}^N z^{-m} \\ \Rightarrow H(e^{j\Omega}) &= \sum_{n=0}^N e^{-jn\Omega} = \frac{1 - e^{-j(N+1)\Omega}}{1 - e^{-j\Omega}} = \frac{e^{-j(N+1)\Omega/2}}{e^{-j\Omega/2}} \cdot \frac{e^{+j(N+1)\Omega/2} - e^{-j(N+1)\Omega/2}}{e^{+j\Omega/2} - e^{-j\Omega/2}} \\ &= e^{-jN\Omega/2} \cdot \frac{\sin((N+1)\Omega/2)}{\sin(\Omega/2)} = \underbrace{e^{-jN\Omega/2}}_{\text{lineare Phase}} \cdot \underbrace{(N+1)}_{H(f=0)} \cdot \underbrace{\text{di}_{N+1}(\Omega)}_{\text{Amplitudengang}} \end{aligned}$$

mit **Dirichlet-Kernel**  $\text{di}_K(\mathbf{x})$  („periodische si-Funktion“):

$$\text{di}_K(x) := \frac{\sin(Kx/2)}{K \sin(x/2)} \approx \text{si}(Kx/2) \text{ für } x/2 \ll 1$$

**Achtung:** Verschiedene Definitionen für  $\text{di}_K$ ; hier: Matlab  $\text{diric}(x, K) \equiv \frac{\sin(Kx/2)}{K \sin(x/2)}$

Berechnung von  $\text{di}_K(0)$  über Regel von L'Hospital:

$$\left. \frac{f(x)}{g(x)} \right|_{x \rightarrow x_0} = \left. \frac{f'(x)}{g'(x)} \right|_{x \rightarrow x_0} \Rightarrow \text{di}_K(\Omega = 0) = \left. \frac{K/2 \cos(K\Omega/2)}{K/2 \cos(\Omega/2)} \right|_{\Omega \rightarrow 0} = 1$$